

NGU Rapport 92.295

Gravimetri for kartlegging av  
løsmassemektigheter i  
Verdalens

Rapport nr. 92.295	ISSN 0800-3416	Gradering: Åpen
<b>Tittel:</b> Gravimetri for kartlegging av løsmassemektigheter i Verdalens		
Forfatter: Jan Fredrik Tønnesen	Oppdragsgiver: NGU	
Fylke: Nord-Trøndelag	Kommune: Verdal og Levanger	
Kartbladnavn (M=1:250.000) Trondheim	Kartbladnr. og -navn (M=1:50.000) 1722 IV Stiklestad	
Forekomstens navn og koordinater: Verdal 32 6250 70750	Sidetal: 57 Kartbilag: 5	Pris: kr 185,-
Feltarbeid utført: 1986-87	Rapportdato: 31.03.93	Prosjektnr.: 62.2243.00 Ansvarlig: <i>Jens S. Reuvang</i>
<b>Sammendrag:</b>  Den gravimetriske undersøkelsen er avgrenset til de nedre ca. 14 km av Verdalens, dvs. fra Trondheimsfjorden og opp mot Vuku. Målingene omfatter 490 observasjonspunkter, hvorav 452 er fordelt langs 6 profiler på tvers av dalen. Bougueranomalier er beregnet og framstilt som farge/kotekart. Det er utført modellberegringer av løsmassemektighet og fjelloverflatens forløp langs profilene. Ut fra profiltolkningene er det sammenstilt et tolkningskart som viser fjelloverflatens morfologi under løsmassene i dalføret.		
Profilmålingene indikerer at løsmassene gir negative tyngdeanomalier av størrelse opptil 5,4 mGal lengst vest avtagende til mellom 2,2 og 3,3 mGal i midtre og østre deler av dalen. Fjelloverflatens maksimaldyp langs dalen er tolket å avta fra 180-190 m under havnivå lengst vest til 60-70 m under havnivå på det grunneste. Dypet øker til over 100 m i østligste del av dalområdet samtidig som dalbredden innsnevres betydelig. Det brede dalområdet i vest er delt i to bassenger av en langsgående fjellrygg. Ryggen er stort sett grunnere enn 50 m under havnivå, men skråner ned mot 100 m lengst vest. Dalbassenget nordafor grunner opp fra maksimum 150 m under havnivå lengst vest til mindre enn 50 m mot øst. Dalens maksimaldyp langs bassenget sør for ryggen har retning ØNØ. Ved oppgrunningen i midtre del av dalområdet forflyttes maksimaldypet 1,5-2,0 km mot sør og følger på ny en mer markert dalform i retning ØNØ. Nordafor stikker det opp en fjellkolle som kan nå over havnivå under deler av området for det store Verdalsskredet fra 1893. Lengst øst i dalområdet dreier maksimaldypet mot ØSØ.		
Emneord:	Kvartærgeologi	Geomorfologi
Geofysikk	Løsmasse	
Gravimetri	Mektighet	Fagrappor

## INNHOLD

	Side
1 INNLEDNING . . . . .	5
2 DATAINNSAMLING . . . . .	5
3 BEARBEIDING AV DATA . . . . .	6
4 GEOLOGI OG DENSITETER . . . . .	7
4.1 Berggrunn . . . . .	7
4.2 Løsmasser . . . . .	9
5 ANOMALIVURDERINGER . . . . .	10
5.1 Bougueranomalikart . . . . .	10
5.2 Bougueranomalier langs utplukksprofiler . . . . .	11
5.3 Regional- og residualanomalier langs profiler . . . . .	11
6 MODELLBEREGNINGER . . . . .	12
7 TOLKNINGSKART - FJELLOVERFLATE . . . . .	14
7.1 Kartframstilling . . . . .	14
7.2 Kartbeskrivelse . . . . .	15
8 DISKUSJON - USIKKERHETER . . . . .	16
9 KONKLUSJON . . . . .	17
10 REFERANSER . . . . .	18

## TEKSTBILAG

- 1 Prosjekt 62.2243.00: Prosjektskisse
- 2 Kort beskrivelse av gravimetri

## DATABILAG

- 1 Gravimetridata fra Verdal innsamlet i 1986 og 1987
- 2 Bougueranomalier langs utplukksprofiler
- 3 Tyngdemodellering - Modelldata

## KARTBILAG

### 92.295-01      Oversiktskart

- 02      Farge/kote-kart over Bougueranomalier i Verdal
- 03      Tyngdemodellering - Fjelloverflate
- 04      Tolkningskart - Fjelloverflate (M 1:20.000)
- 05      Tolkningskart - Fjelloverflate (M 1:50.000)

## **1 INNLEDNING**

Verdal er det andre dalføret som undersøkes systematisk i prosjekt 62.2243.00: Gravimetrisk kartlegging av løsmassemektigheter i nedre dalområder i Trøndelag (se tekstbilag 1). Tidligere er det utført tilsvarende undersøkelse i Stjørdal (Tønnesen 1991b) samt av mer begrenset omfang i Gaulosen (Tønnesen 1991a).

Tyngdemålingene i Verdal ble utført sommer/høst 1986 og høsten 1987. Dalområdet som er dekket utgjør de nedre ca. 14 km, fra Trondheimsfjorden og opp mot Vuku, med hovedvekt på målinger langs 6 profiler på tvers av dalen (se kartbilag 92.295-01).

Denne rapporten omhandler bearbeiding av alle måledata med beregning av Bougueranomalier, tyngdemodellering av løsmassemektigheter og fjelloverflatens forløp langs måleprofilene samt et tolkningskart som viser fjelloverflatens morfologi i dalføret.

## **2 DATAINNSAMLING**

Innsamling av tyngdedata ble utført med NGUs LaCoste & Romberg gravimeter, modell G nr. 569. Målingene omfatter totalt 490 observasjonspunkter, hvorav 452 er fordelt langs 6 profiler på tvers av dalen med målepunktavstand som regel 50 m. De øvrige 38 målepunktene er plassert direkte på fjelloverflate eller nær fjell i områdene nord og sør for dalsedimentene. I profilene er som regel endepunktene også plassert på fjell. For kontroll av daglig drift ble målingene knyttet til en lokal basisstasjon opprettet på Verdal jernbanestasjon. Denne ble igjen knyttet til NGOs tyngdebasisstasjon ved hovedinngangen til Trygdegården i Levanger (Levanger P) for absolutt bestemmelse av tyngdefeltets verdi.

I profilene ble avstanden mellom observasjonspunktene innmålt med målesnor, mens punkthøydene ble bestemt ved nivellelement (teodolitt og målestang). For absolutt høydebestemmelse er det i hvert profil tatt utgangspunkt i ett eller flere høydefastmerker, enten kommunale polygonpunkter eller Statens Vegvesens polygonpunkter. Av observasjonspunktene utenom profilene er 9 plassert direkte på slike høydefastmerker eller på trig.pkt. i det økonomiske kartverket. For 13 målepunkter er fotogrammetrisk bestemte punkthøyder i kartverket benyttet, mens 11 målepunkter er plassert lettkjennelig sted på høydekote. Leksdalsvatnet (68,5 m o.h.) er brukt som høydereferanse for 5 målepunkter.

I profilene ble avstandsinnmåling, nivellering og tyngdeobservasjon utført fortløpende for hvert målepunkt. Profilmålingene ble gjennomført i løpet av 16 arbeidsdager av to personer. For tyngdeobservasjon på de øvrige punktene samt en del rekognosering er det brukt 4 arbeidsdager i tillegg (en person). Ved profilmålingene ble nivelleringsarbeidet i

1986 utført av Jan Håbrekke (6 dager) og Øystein Jæger (2 dager) og i 1987 av Jomar Gellein (5 dager) og Olaf Olsborg (3 dager). Alle tyngdeobservasjoner er utført av Jan Fredrik Tønnesen.

### 3 BEARBEIDING AV DATA

Måledata ble først korrigert for daglig drift og deretter friluftskorrigert for stativhøyde der dette var aktuelt. De korrigerte observasjonsverdiene vist som utskrift i databilag 1 refererer seg til IGSN71-systemet.

Beregning av Bougueranomalier er utført etter vanlig prosedyre ved NGU (Mathisen 1976). Både i Bouguer- og terrengkorrekjonen er det benyttet en standard densitet på  $2670 \text{ kg/m}^3$ . For nærområdet rundt et målepunkt ble terrengkorrekjonen bestemt ut fra avleste terrenghøyder langs sirkler om punktet. For målepunktene sentralt i dalen ble det som regel bare brukt en sirkel med radius 300 m. For målepunkter nærmere dalsidene og for alle punktene på fjell ble det benyttet en tilleggssirkel med radius 100 m. Som høyde-datagrunnlag ble benyttet økonomisk kartverk i målestokk 1:5.000 med 5 m ekvidistanse. Korrekjonsverdier og Bougueranomalier er vist som utskrift i databilag 1. I utskriften er både observert tyngde, korrekjonsverdier og Bougueranomalier angitt i milliGal.

Data for alle målepunktene er lagt inn i gravimetridatabasen ved NGU.

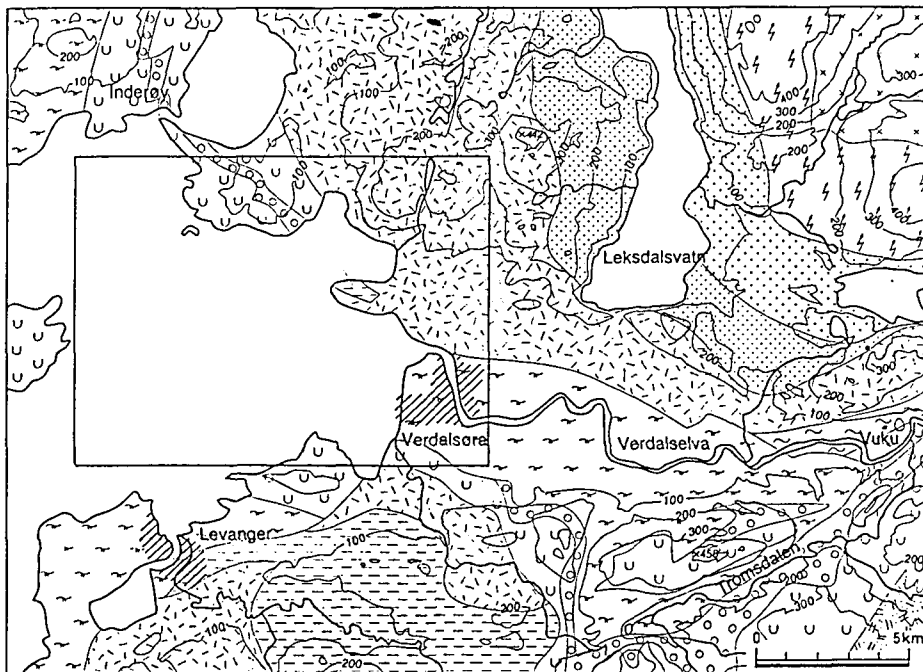
## 4 GEOLOGI OG DENSITETER

For vurdering og tolkning av de framkomne Bougueranomalier er det viktig å ha tilstrekkelig kunnskap om densitetsverdier for både berggrunn og løsmasser.

### 4.1 Berggrunn

Området ligger innenfor berggrunnsgeologisk kart Trondheim i målestokk 1:250.000 beskrevet av Wolff (1979). Fig. 1 er et forenklet berggrunnskart over Verdalsområdet (Sveian og Bjerkli 1984), som viser at fjellgrunnen består av en rekke bergarter. En kan først skille mellom de stedegne grunnfjellsbergartene som kommer i dagen lengst nordøst i kartet og de overliggende bergartene som er skjøvet inn over grunnfjellsunderlaget fra VNV i forbindelse med den kaledonske fjellkjedefoldningen. Denne lagrekken av bergarter er brudt opp i 4-5 dekkeenheter (flak) som er skjøvet inn over hverandre. Leksdaldekket ligger underst og utgjør en sone langs vest- og sørsiden av grunnfjells vinduet. Det overliggende Skjøtingendekket omfatter en relativ bred sone vestafor, mens den er betydelig smalere mot sør hvor dekket utgjør berggrunnen langs nordsiden av Verdalen. Bergartene under dalføret tilhører i alt vesentlig Trondheimsdekket. Disse fortsetter videre sørover fra sentrale og østlige del av dalen. Mot sør langs vestlige del av dalen og i området mellom Verdalsøra og Levanger avgrenses Trondheimsdekkets bergarter på ny av Skjøtingendekket og delvis av Levangerdekket. Det antas at bergartsgrensene er forholdsvis usikre i områder med mye løsmasseoverdekke og da spesielt under løsmassene i hoveddalføret.

I denne undersøkelsen er det ikke foretatt noen densitetsbestemmelser av bergartene i området. I NGUs petrofysiske database er det heller ingen densitetsverdier innenfor kartbladene som dekker Verdalsområdet. Databasen inneholder imidlertid data for de samme bergartsenhetene fra andre deler av Trøndelag, og det vises her spesielt til undersøkelser innenfor kartblad Steinkjer M 1:50.000 (Fasteland og Skilbrei 1989). I tabell 1 framgår avrundete middelverdier for de fleste aktuelle bergarter i området. De klart laveste densitetsverdiene opptrer i grunnfjellsområdet ( $2630 \text{ kg/m}^3$ ) og Leksdaldekket ( $2670 \text{ kg/m}^3$ ). Fyllitt og gråvakke ( $2750 \text{ kg/m}^3$ ) utgjør det meste av berggrunnen i dalområdet. Størst usikkerhet er knyttet til de omkringliggende amfibolitter/glimmerskifre og grønnsteiner/grønnskifre. Grønnstein ( $2880 \text{ kg/m}^3$ ) har relativt stor spredning i densitetsverdi, men ligger betydelig over grønnskifer ( $2740 \text{ kg/m}^3$ ). Likeledes har amfibolitt ( $2920 \text{ kg/m}^3$ ) betydelig høyere verdi enn glimmerskifer ( $2750 \text{ kg/m}^3$ ). Det regnes at det er mest skiffrige bergarter i Verdalsområdet og at disse vil ha tilsvarende densitet som fyllitt/gråvakke eller litt høyere. Kalkstein ( $2710 \text{ kg/m}^3$ ) opptrer sør for Verdalen i flere områder.



### Tegnforklaring

#### Tektoniske enheter

- THD - Trondheimsdekket (=STØ+GUL)
- STØ - Størendekket
- GUL - Guladekket
- LED - Levangerdekket
- SKJ - Skjøtingendekket
- LEK - Leksdaldekket
- PRE - Grunnfjell

#### Bergarter

STØ	~ ~	Fyllitt og gråvakke
	○ ○ ○	Kalkstein
GUL	~~~~~	Fyllitt og kvartsitt
	U U	Grønstein og grønnskifer
LED	~~~	Biotittskifer
	- - -	Garbenskifer
SKJ	●	Serpentinitt, kleberstein
	· · ·	Amfibolitt og glimmerskifer
LEK	.....	Meta-arkose og kvartsgneis
	.....	Kalkspatholdig metasandstein
PRE	⚡ ⚡	Blastomylonitt
	x x	Grunnfjell

**Fig. 1 - Forenklet berggrunnskart over Verdalsområdet**  
(Sveian & Bjerkli, 1984)

#### Tabell 1

Densitetsverdier for de mest aktuelle bergarter i Verdalsområdet

Data er vesentlig fra Fasteland & Skilbrei (1989).

Densiteter er angitt i kg/m<sup>3</sup> og representerer middelverdier for bergartene (avrundet til hele 10 kg/m<sup>3</sup>).

Fyllitt og gråvakke	2750
Kalkstein	2710
Grønnskifer	2740
Grønstein	2880
Glimmerskifer	2750
Amfibolitt	2920
Sandstein (Leksdaldekkets b.a.)	2670
Grunnfjells-b.a. (i NØ)	2630

Ut fra vurderingene ovenfor er gjennomsnittsverdien for berggrunnsdensiteten i selve dalområdet anslått til rundt  $2750 \text{ kg/m}^3$ . Denne verdi er benyttet ved modellering av løsmassemektighetene i Verdalen. Dersom det opptrer massiv grønnstein eller amfibolitt i området, kan disse ha betydelig høyere densitet enn den valgte gjennomsnittsverdi.

## 4.2 Løsmasser

Kvartærgeologien i Verdalsområdet er beskrevet av Sveian (1989). Hele området er dekket av kvartærgeologiske kart i målestokk 1:20.000 (Sveian 1981a, b og c og Sveian & Bjerkli 1984). Under isavsmeltingen ved slutten av siste istid kalvet breen opp i Trondheimsfjorden i Allerød (12000-11000 år siden), men det er uvisst hvor langt øst isfronten trakk seg tilbake. Klimaforverring medførte et breframstøt til Tautra ca. 50 km SV for Verdalsøra i tidlig Yngre Dryas (10800-10500 år siden). Derfra trakk brefronten seg raskt tilbake til Verdalsområdet, for på nytt å rykke fram til fjordområdet like vest for Verdalsøra. Moreneryggen fra Skånes og ut under fjorden er trolig en sen fase av dette trinnet. Brefronten trakk seg raskt tilbake fra hele dalområdet innenfor kartblad Stiklestad (M 1:50.000), men kan ha hatt enkelte opphold eller korte framrykk. Datering ved østre kartkant indikerer at området var isfritt for 10000 år siden.

Det regnes at det meste av løsmassene i Verdalen består av finkornige fjordsedimenter (silt og leire) avsatt under avsmeltningsperiodene og da hovedsakelig under og etter isens siste tilbaketrekkning fra området. Dersom det fins eldre avsetninger enn Skånes-morenen, vil disse være overkjørt av isen og kan være overlagret av morenemateriale. Det kan også være morenelag rett over fjell. Israndrygger med breelvmateriale opptrer til dels under leire i østlige deler av dalen, og det er ikke utelukket at det kan være israndrygger under finstoff også lenger vest i dalen.

Langsetter de sentrale deler av dalføret er de finkornige sedimentene dekket av sanddominerte elveavsetninger, hvorav en stor del er avsatt som deltautbygging i fjorden til ulike tider under landhevningen som fulgte etter istiden. Landhevningen medførte også at tidligere avsetninger i dalen kom over havnivå og ble erodert av elver og bekker.

Overflaten av fjordsedimentene kan derfor ha ligget betydelig høyere enn nå, i hvert fall i midtre og spesielt i østlige del av dalen. Elveavsetningene regnes å ha liten mektighet under dagens elvenivå, unntatt i vest ut mot eksisterende fjorddelta. Østover i dalen har elveavsetningene størst mektighet under høyeliggende deltaflater som står igjen som erosjonsrester opptil 60-70 m over dagens elvenivå. Den lave elvesletten i midtre del av dalen er dekket av et topplag med skredleire fra det store Verdalsraset i 1893.

Ut fra tidligere vurderinger (Tønnesen 1978) anslås sediment-densiteten for vannmettet sand-dominerte avsetninger å ligge rundt  $2000 \text{ kg/m}^3$ . Underliggende leirer, som er relativt godt konsoliderte, kan regnes å ha omtrent samme densitetsverdi. Sand-dominerte avsetninger over grunnvannsnivå er anslått å ha densitet ca.  $1700 \text{ kg/m}^3$ . Moreneavsetninger vil ha mindre porevolum enn andre avsetningstyper, og vannmettet morenemateriale regnes derfor å ha høyere densitetsverdier, og kan nå opp i området  $2200\text{-}2400 \text{ kg/m}^3$ .

## 5 ANOMALIVURDERINGER

### 5.1 Bougueranomalikart

Ut fra datagrunnlaget i gravimetridatabasen er det framstilt et farge/kote-kart over Bougueranomaliene i Verdalsområdet (se kartbilag 92.295-02). Kartet er avgrenset av UTM-nordlinjene 7071 og 7081 km og UTM-østlinjene 619 og 634 km og er i målestokk 1:50.000. Anomaliene er gjengitt med farge/koteintervall på 0.5 mGal. Innenfor kartområdet inneholder databasen anomaliverdier fra 38 målepunkter i tillegg til verdiene i databilag 1. Disse målingene er utført i forbindelse med regional gravimetrisk kartlegging i Trøndelag.

Alle anomalier innenfor kartet har negative verdier og variasjonsområdet er på over 22 mGal, fra -37 mGal lengst SV til under -59 mGal i NØ. I nordvestligste del av kartet har anomalifeltet en regional helning nedover mot øst. Sørøstover i kartet dreier helningen mot nordøst og mot nord i østlige del. Helningsretningen står derfor tilnærmet vinkelrett på utgående av grunnfjells vinduet i nordøst og likeså på dekkegrensen over Leksdaldekket. De lave anomaliverdiene i NØ reflekterer de lette sandsteinsbergartene i Leksdaldekket og lett granittisk grunnfjell. Økningen i anomaliverdiene utover fra Leksdaldekket antas å være forårsaket av økende tykkelse av overliggende dekker med tyngre bergarter (Skjæringendekket og Trondheimsdekket). Dette er i samsvar med tolkninger utført på kartblad Steinkjer (Fasteland & Skilbrei 1989).

Løsmassenes innvirkning sees som en pålagret negativ anomali langs dalføret. I vestlige del, hvor anomalifeltet har helning langs dalføret, blir anomalikurveene avbøyd mot vest over dalsedimentene. Lenger øst, hvor anomalifeltet har helning mer på tvers av dalen, får feltet en bratt helning langs sørsiden av dalen, mens det til dels bare får en utflating mot nordsiden av dalen. Nord og sør for dalføret er egne tyngdeobservasjoner plassert på fjelloverflate, mens en del av tilleggspunktene fra databasen er plassert på løsmasser i disse områdene. Anomaliene for disse punktene vil til en viss grad påvirke kurveforløpet da det lokalt kan være betydelige løsmassemektigheter også utenfor hoveddalføret. Det gjelder f.eks. 3 punkter i nordvest mellom UTM-nord 7079 og 7080 km og UTM-øst 620

og 625 km. Anomalikurvene regnes her å få en betydelig avbøyning mot vest på grunn av løsmassenes innvirkning.

Anomaliverdiene målt på fjell langs nordsiden av dalsedimentene synker fra ca. -41 mGal lengst vest (UTM-øst 620 km) til -53 - -54 mGal etter 8-9 km, før deretter å øke noe til -49 - -50 mGal lengst øst. Tilsvarende langs sørsiden av dalen synker verdiene fra ca. -39 mGal lengst vest til -47 - -48 mGal etter ca. 8 km før deretter å øke noe til rundt -45 mGal i østlige del.

## 5.2 Bougueranomalier langs utplukksprofiler

For videre vurdering og tolkning av anomaliene ble det fra gravimetridatabasen tatt anomaliumplukk langs rettlinjede profiler. For hvert profil ble da målepunkter innenfor en angitt avstand fra profilet tatt med. De seks utplukksprofilene er tilnærmet sammenfallende med de seks måleprofilene på tvers av dalen. Bougueranomaliene langs de seks profilene er vist i databilag 2. Alle profilene har startkoordinat i ende med lavest UTM-østverdi. Profil 1, 3 og 4 har da startpunkt i sør, mens profil 2, 5 og 6 har omvendt retning med 0-punkt i nord.

## 5.3 Regional- og residualanomalier langs profiler

For tolkning av løsmassemektigheter langs utplukksprofilene må løsmassenes anomaliinnvirkning først skilles ut. Dette gjøres ved å legge inn et regionalt anomalfelt som skyldes berggrunnen i området og trekke dette i fra Bougueranomalfeltet. Bougueranomaliene fra målepunkter direkte på fjell nord og sør for dalføret vil være lite påvirket av dalsedimentene og kan derfor benyttes til å legge inn et regionalt anomalfelt. I profilene er som regel målepunktene i hver ende også plassert på fjell og kan benyttes for nivåvurdering av regionalfeltet. En komplikasjon oppstår når den virkelige berggrunnsdensiteten avviker fra standarddensiteten  $2670 \text{ kg/m}^3$  som er brukt ved reduksjon av måledata til havnivå. Bougueranomaliene vil da være avhengig av topografisk høyde på målepunktene. Berggrunnsdensiteten i området er anslått til  $2750 \text{ kg/m}^3$  (kapittel 4). Med en densitetsforskjell på  $80 \text{ kg/m}^3$  øker Bougueranomaliverdiene med  $0,34 \text{ mGal}$  for  $100 \text{ m}$  økning i målepunkthøyde. Siden det er svært moderate terrenghøyder nord og sør for dalen, vil denne høydeinnvirkningen imidlertid ha lite å si for anomalinivået.

I utgangspunktet forutsettes det regionale anomalfeltet å variere lineært langs profilene på tvers av dalen. For Verdalen er usikkerheten i denne forutsetningen betydelig større enn

for en del andre dalfører i Trøndelag. Dette kommer av den store dalbredden (4-6 km) i vestre og midtre deler av området sammen med den relativt komplekse berggrunnsgeologien. I databilag 2 er angitt det valgte regionalanomalinivå for første og siste målepunkt i hvert profil. Profil 4 skiller seg ut som spesielt, da et lineært felt ut fra nivået på begge sider av dalen ville skjære gjennom det lokale anomalmaksimum midt i profilet. Det er her valgt å ta utgangspunkt i verdiene på sørsiden av dalen og velge "fritt" verdien ved nordenden slik at alle verdier i dalføret blir liggende godt på undersiden av regionalanomalifeltet. I databilag 3 vises residualanomaliene som framkommer langs hvert profil når regionalanomalifeltet er trukket fra Bougueranomaliene. Profilene indikerer at løsmassenes maksimale anomalivirkning langs dalføret avtar fra -5,4 mGal lengst vest til mellom -2,2 og -3,3 mGal i de midtre og østre deler av dalområdet.

## 6 MODELLBEREGNINGER

Tyngdemodellering er utført med tolkningsprogrammet GAMMA 86 (Hesselström 1987) implementert på MicroVax datamaskin ved NGU. Programmet beregner anomalivirkningen fra kropper med horisontal lengdeakse, konstant polygonformet tverrsnitt og endelig lengde ( $2\frac{1}{2}$  D).

Løsmassemodellen langs hvert profil er bygd opp av flere kropper med lengdeakse normalt på profilretningen. For kropper over grunnvannsnivå er det benyttet en densitet på 1700 kg/m<sup>3</sup>, mens underliggende kropper er satt til 2000 kg/m<sup>3</sup>. Grunnvannsnivå er anslått på skjønn ut fra aktuelt elvenivå og en del borer. Silt/leir-avsetninger regnes å være vannmettet fra like under overflaten. Med en anslått berggrunnsdensitet på 2750 kg/m<sup>3</sup> gir dette en densitetskontrast på 1050 kg/m<sup>3</sup> mellom løsmasser over grunnvannsnivå og fjell og 750 kg/m<sup>3</sup> mellom vannmettet materiale og fjell. Oversiden av de øvre kroppene er best mulig tilpasset terrengoverflaten bestemt av målepunkthøydene langs profilet. Fjelloverflaten i modellen ble først lagt inn med en enkel form. Fjellformen ble så justert inntil det ble oppnådd god overensstemmelse mellom anomalivirkningen fra modellen og residualanomaliene.

Resultatene av modellberegningene er vist i databilag 3. For hvert profil er resultatene først framstilt i en grafisk profilutskrift. Denne viser modellformen (tverrsnitt av kroppene), modellanomalien (heltrukket) og residualanomaliene. Positiv lengdeakse (y-akse) for kroppene har retning normalt opp fra profilsnittet (=xz-planet=papirplanet). På etterfølgende sider gjengis alle modelldata i en tabellutskrift.

I kartbilag 92.295-03 er modelltolkningene av fjelloverflaten langs de 6 profilene tegnet i målestokk 1:10.000. Nordenden av profilene er til venstre, og i felles lengdeakse

representerer 0-linjen profilenes kryssing med UTM-nordlinje 7079 km. Høydeskala er i meter over havnivå.

Profil 1 indikerer at en fjellrygg når opp til knapt 100 m under havnivå sentralt i profilet. Mot sør og nord skråner fjellet ned til dypområder på henholdsvis 185 og 150 m under havnivå. Fra det nordlige dypet skråner fjelloverflaten nokså jevnt oppover mot nord. Det sørlige dypområdet grunner noe opp mot sør, men avsluttes mot en steil dalside fra ca. 90 meters dyp og opp til overflaten.

Profil 2 viser også en fjellrygg sentralt i profilet i et dyp på 40 m under havnivå. Dypområdet sønnafor, som når ned til 150 m under havnivå, er betydelig smalere enn i profil 1. Dalsidene opp fra dypområdet er ganske steile, spesielt nordsiden. På sørsiden er fjelloverflaten i et relativt bredt område fra 50 til 30 m under havnivå, men skråner forholdsvis bratt opp mot overflaten mot sørrenden. Nordover fra fjellryggen har fjelloverflaten en slak forsenkning til ca. 70 m fulgt av en forhøyning til 55 m under havnivå før den går ned i et dypområde på ca. 90 m under havnivå. Fjelloverflaten stiger bratt opp til over havnivå på nordsiden. I profilet er både fjellrygg og dypområder forskjøvet mot nord i forhold til profil 1.

Profil 3 har ett dypområde som når ned til 105-110 m under havnivå. Det er sentralt plassert i profilet, men ligger noe lenger nord enn maksimaldypet i profil 2. Nordafor kommer fjellet opp til 25 m under havnivå. Bortsett fra en forsenkning til 40 m fortsetter fjelloverflaten i et jevnt nivå på 27-30 m under havnivå fram til dalsiden som skråner opp mot nordenden. Mot sør ser det ut til å være en del variasjoner i fjelloverflaten med topper på henholdsvis 40, 25 og 5 m under havnivå med to forsenkninger i mellom som når ned mot 50 m. Sørligst er det en forsenkning til 30 m før søndre dalside nås.

Profil 4 er spesielt da den valgte lineære regionalanomalien i utgangspunktet gir residual-anomalier på ca. -3 mGal over fjell på nordsiden av dalen. Før løsmassene modelleres er det nødvendig å modellere berggrunn med avvikende densitet. Det er her tenkt at anomaliavviket kan skyldes lette relativt gruntliggende bergarter ved nordenden av profilet, dvs. sandsteiner i Leksdaldekket. Første side for profil 4 i databilag 3 viser anomaliinnvirkningen fra en slik kropp (kropp 1). På neste side vises samlet anomaliinnvirkning fra endelig løsmassemodell og berggrunnskroppen. Løsmassemodellen indikerer at dypeste dalområde ligger i sørligste del av profilet, 1,5-2,0 km lenger sør enn i profil 3. Søndre dalside skråner forholdsvis bratt ned mot maksimaldypet på 65 m under havnivå, mens fjelloverflaten videre nordover i dypområdet varierer mellom noen meter over og under 50 m under havnivå. Ut fra modelltolkningen ser det ut til at den brede fjellryggen som kommer opp sentralt i dalen, når godt over havnivå (opptil 20-25 m). På nordsiden har fjelloverflaten en forsenkning som kan gå ned til 10-15 m under havnivå før den relativt bratte dalsiden mot nord.

Profil 5 indikerer at dypeste fjelloverflate ligger 70-75 m under havnivå i et 200 m bredt område i den sørlige del av profilet. Søndre dalside stiger forholdsvis jevnt opp mot overflaten de sørlige 500 m. Mot nord kommer fjelloverflaten brått opp i 50 m under havnivå med videre slak helning mot vel 40 m. I nordlige del kommer en fjellrygg opp til knapt 10 m under havnivå, etterfulgt av en forsenkning til nær 40 m før dalsiden stiger opp mot nord. Dalens dypområde ligger en god del lengre mot nord enn i profil 4.

Profil 6 viser at dalens dypområde er forskjøvet mot nordre del av profilet hvor fjelloverflaten er dypere enn 100 m under havnivå i en bredde av 200 m. Den skråner steilt opp fra dypområdet, spesielt mot sør. Under sørlige del av dalen ligger fjelloverflaten ganske grunt og når opp over havnivå i et ca. 200 m bredt område. Derpå følger en forsenkning noen meter under havnivå før dalsiden i sør. Dypområdet i dalen ligger litt forskjøvet mot nord i forhold til profil 5.

## 7 TOLKNINGSKART - FJELLOVERFLATE

Et tolkningskart over fjelloverflatens forløp i Verdalen er utarbeidet og vist i kartbilag 92.295-04 (M 1:20.000). Kartbilag 92.295-05 viser samme kart nedfotografert til M 1:50.000.

### 7.1 Kartframstilling

Høydekotene for fjelloverflaten er angitt i meter over havnivå med ekvidistanse 50 m og høyeste kote i nivå 50 m o.h. I de vestlige områder er det tatt med en mellomkote 25 m o.h.

Kartet bygger vesentlig på tolkningsmodellene langs profilene. Koteforløpet imellom profilene er stort sett interpolert etter eget skjønn, men det er tatt hensyn til hva som finnes av annen informasjon. Anomaliverdier fra løsmasseområdene mellom profilene har gitt en viss støtte. Boringer har i en del områder vært til betydelig hjelp. Det er en rekke dypboringer fra årene like etter Verdalsraset (Friis 1898), mens en del nyere boringer er angitt på kvartærgeologiske kart (M 1:20.000). En god del, spesielt av de gamle boringene, angir dyp til fjell, mens de øvrige bare viser minimumsdyp. En del refraksjonsseismiske profiler i området har vært til støtte for kartframstillingen (Hillestad 1959, 1963 og 1973, Tvedten 1989, Tønnesen 1985). I Trondheimsfjorden bygger kartet på tolkninger som er gjort av refleksjonsseismiske sjømålinger, framstilt i kvartærgeologisk kart

Verdalsøra (Sveian og Bjerkli 1984). For å fastlegge havnivåkotens forløp og likeså de høyereliggende koter er det benyttet informasjon fra de kvartærgeologiske kartene (M 1:20.000). Ytterligere feltkontroll er ikke utført.

## 7.2 Kartbeskrivelse

Noen hovedtrekk av fjellmorfologien i dalføret beskrives. I fjordområdet utenfor dalmunningen er det et over 2 km bredt område hvor fjelloverflaten ligger fra 150 til mer enn 200 m under havnivå. Fra vest for P1 og til og med P3 går det en markert fjellrygg sentralt langs dalen i retning ØNØ. Den er mindre enn 100 m under havnivå ved P1 og grunner opp til mindre enn 50 m under havnivå mellom P1 og P2. Dypområdet langs nordsiden av ryggen grunner opp fra 150 m under havnivå ved P1 til mindre enn 50 m under havnivå ved P3 og ser ut til å deles opp i 2 forsenkninger av en relativt lav langsgående rygg. Dalens maksimaldypt følger dalformen sør for den sentrale fjellryggen. Maksimaldyptet avtar fra 180-190 m underhavnivå ved P1 til ca. 150 m ved P2 og er fortsatt mer enn 100 m under havnivå ved P3.

Mellan P3 og P4 endres fjellmorfologien betydelig. Maksimaldyptet langs dalen forflyttes 1,5-2,0 km mot sør fra P3 til P4 samtidig med at dyptet avtar. Det ser ut til å være en viss utflating av dalbunnen samt en utvidelse av dalbredden i området mellom profilene, noe som indikeres ved at fjelloverflaten ligger mellom 50 og 100 m under havnivå i en bredde av ca. 3 km. Fra P4 og østover forbi P5 går maksimaldyptet langs dalføret igjen i retning ØNØ. På nordsiden av denne sentrale dalformen er det ved P4 tolket å være en bred fjellkolle som når godt over havnivå. Dette indikerer at fjelloverflaten ligger relativt grunt under området for det store Verdalsraset fra 1893. Kollen smalner av østover mot P5 og er trolig avgrenset mot nord av en forsenkning i fjelloverflaten parallelt med dalsiden nordafor.

Den totale dalbredden innsnevres betydelig østover fra P4. I nivå 50 m o.h. avtar dalbredden fra 3,6 km ved P4 til 2,0 km ved P5 og 1,4 km ved P6. Mens dalbredden avtar mot øst, øker maksimaldyptet fra 60-70 m under havnivå ved P4 til dypere enn 100 m ved P6. Retningen for maksimaldyptet langs dalen dreier mot ØSØ ved P6.

## 8 DISKUSJON - USIKKERHETER

Det er vanskelig å gi noen eksakt verdi for usikkerheten i løsmassemektighetene som er bestemt fra de gravimetriske data. Dersom forutsetningene som er brukt er tilnærmet oppfylt, kan nøyaktigheten langs profilene være omtrent like god som det vanligvis regnes for grunnseismikk, dvs. innenfor 10 % avvik. For relativt små mektigheter (dvs. mindre enn 30-40 m) kan nok usikkerheten være en god del større.

Det er forutsatt at regionalanomalien varierer lineært langs tolkningsprofilene. På grunn av lange profiler og kompleks geologi er det usikkert hvor godt dette stemmer. For profil 4 er denne forutsetninga opplagt ikke oppfylt, og et regionalfelt måtte modellberegnes ut fra endringer i berggrunnsdensitet. Formen på dette feltet langs profilet vil være avhengig av berggrunnsmodellen. I stedet for å legge inn en lett bergart langs nordsiden av profilet er det også mulig at de høye anomaliene sentralt i profilet delvis kan skyldes underliggende tung bergart. Det kan også være en kombinasjon av en tung og en lett bergartskropp. Selv om det er en viss usikkerhet i regionalfeltets forløp langs profilene, må en kunne regne med at de store anomalivariasjonene som framkommer på tvers av dalen, i alt vesentlig skyldes endringer i løsmassemektigheten.

Dersom det opptrer større mektigheter av morenemateriale, som har høyere densitet enn benyttet i løsmassemoddellene, vil de virkelige dyp til fjell kunne være en god del større enn beregnet. Dyptiggende finstofflag, som også kan ha vært isbelastet ved breframstøt, vil kunne ha litt høyere densitet enn benyttet. Finstoffmateriale under høytliggende leirflater vil være relativt dårlig konsolidert og kan ha litt lavere densitet enn forutsatt (f.eks. i nordlige del av profil 5).

Tolkningsmodellene er forholdsvis enkle og bygger på en del forutsetninger. Kroppene har et konstant polygonformet tverrsnitt med lengdeakse på tvers av profilene. Lengden på kroppene er så stor at de som regel tilnærmet kan betraktes som todimensjonale. Tolkningsmodellen vil representere et gjennomsnitt av forholdene på begge sider av profilet. Dersom det er store variasjoner i dyp til fjell på tvers av profilretningen, vil beregnet dyp kunne ha betydelig avvik fra virkelig verdi.

Det er stort sett god overensstemmelse mellom tolkningsmodellene og de øvrige dybdedata som finnes (boringer og seismikk). Enkelte boringer i forbindelse med Verdalsraset tyder på at fjelloverflaten der kan ligge noe dypere enn tolkningsmodellen langs profil 4 tilsier. I tolkningskartet er usikkerheten størst i midtre del av kartet. Det skyldes stor avstand mellom profil 3 og 4 sammen med relativ stor usikkerhet i modelltolkningen langs profil 4.

## **9 KONKLUSJON**

Gravimetri langs 6 profiler på tvers av Verdalens mellom fjorden og Vuku indikerer at løsmassene gir negative anomalier av størrelse opptil 5,4 mGal lengst vest avtagende til mellom 2,2 og 3,3 mGal i midtre og østre deler av dalen. Tyngdemodellering av løsmassene viser at fjelloverflaten langs de dypeste deler av dalen stiger mot øst fra 180-190 m under havnivå lengst vest ved fjorden og kan nå opp til 60-70 m under havnivå på det grunneste. Den synker igjen til mer enn 100 m mot østligste del av dalområdet samtidig som dalbredden innsnevres betydelig.

Det brede dalområdet i vest er delt i to dalbassenger av en langsgående fjellrygg. Ryggen stiger relativt bratt opp fra nær 100 m under havnivå lengst vest til høyere enn 50 m under havnivå. Dalbassenget på nordsiden grunner opp fra 150 m under havnivå lengst vest til noe høyere enn 50 m under havnivå mot øst. Maksimaldypet, som følger dalformen langs sørsiden av ryggen, går i retning ØNØ. I midtre del av dalområdet ser det ut til å være en viss utvidelse av dalbredden og en utflating av dalbunnen. Maksimaldypet forflyttes her 1,5-2,0 km mot sør hvor det på ny får retning ØNØ langs en smalere og mer markert dalform. Nord for dalformen ser det ut til å stikke opp en fjellkolle som kan nå over havnivå under området for det store Verdalsskredet fra 1893. Lengst øst i dalen dreier maksimaldypet mot ØSØ.

## 10 REFERANSER

- Fasteland, F. & Skilbrei, J.R. 1989: Tolkning av helikoptergeofysikk, gravimetri og petrofysikk innenfor kartblad 1723 III Steinkjer, Nord-Trøndelag. *NGU Rapport 89.158*.
- Friis, J.P. 1898: Terrænundersøgelser og Jordboringer i Stördalen, Värdalen og Guldalen samt Trondhjem i 1894, 95 og 96. *Norges geologiske undersøkelse 27, 1-79*.
- Hesselström, B. 1987: GAMMA 86 user's manual. *Swedish geological company*.
- Hillestad, G. 1959: Seismiske undersøkelser Verdalsøra, Verdal. *GM Rapport 267*.
- Hillestad, G. 1963: Seismiske undersøkelser Verdalsøra og Leksdalsvann, Verdal. *GM Rapport 396*.
- Hillestad, G. 1973: Seismiske undersøkelser Skånes, Levanger. *NGU Rapport 1174*.
- Mathisen, O. 1976: A Method for Bouguer Reduction with Rapid Calculation of Terrain Corrections. *Nor. geogr. oppm., Geodetiske arbeider 18*.
- Sveian, H. 1981a: Levanger, kvartærgeologisk kart CST 133134-20. *Norges geologiske undersøkelse*.
- Sveian, H. 1981b: Stiklestad, kvartærgeologisk kart CUV 135136-20. *Norges geologiske undersøkelse*.
- Sveian, H. 1981c: Tromsdalen, kvartærgeologisk kart CUV 133134-20. *Norges geologiske undersøkelse*.
- Sveian, H. 1989: Stiklestad 1722 IV. Beskrivelse til kvartærgeologisk kart, M 1:50.000 (med fargetrykt kart). *Norges geologiske undersøkelse, Skrifter 89, 1-54*.
- Sveian, H. & Bjerkli, K. 1984: Verdalsøra, kvartærgeologisk kart CST 135136-20. *Norges geologiske undersøkelse*.
- Tvedten, S. 1989: Prøvepumping av grunnvannsbrønner ved Sundby i Verdal. *Hovedoppgave i ingeniørgeologi, Inst. for Geologi og Bergteknikk, NTH*.
- Tønnesen, J.F. 1978: Geofysiske undersøkelser av kvartære sedimenter i Numedal. *Hovedoppgave i geofysikk/kvantærgeologi, Inst. for Geologi, Universitetet i Oslo*.
- Tønnesen, J.F. 1985: Seismiske målinger på land innenfor kartbladene Stiklestad og Steinkjer i 1982. *NGU Rapport 84.130*.
- Tønnesen, J.F. 1991a: Gravimetri for kartlegging av løsmassemektigheter i Gaulosen. *NGU Rapport 91.211*.
- Tønnesen, J.F. 1991b: Gravimetri for kartlegging av løsmassemektigheter i Stjørdal. *NGU Rapport 91.224*.
- Wolff, F.C. 1979: Beskrivelse til de berggrunnsgeologiske kart Trondheim og Østersund 1:250.000 (med fargetrykte kart). *Norges geologiske undersøkelse 353, 1-76*.

Prosjekt 62.2243.00: Prosjektskisse

Tittel

Gravimetri for kartlegging av løsmassemektigheter og fjellforløp i de nedre dalområdene innenfor kartblad Trondheim 1:250 000.

Situasjon og ønskemål

Løsmassene i de lavereliggende deler av de større dalførene er avsatt i fjordbassenger under og etter isens tilbaketrekning, og mektighetene er som regel store. Fjellformen i bassengene og løsmassemektighetene er bare kjent fra enkelte steder hvor det er målt seismikk. Det finnes også enkelte gamle dypboringer. For å få et bedre bilde av forholdene vil det være ønskelig å kartlegge områdene ved hjelp av gravimetri.

Metodefordeler

1. Gravimetri er rimelige og enkle målinger som egner seg godt for kartlegging av store løsmassemektigheter. Seismiske målinger blir dyrere og mer omstendelige når mektighetene blir store.
2. Bebyggelse og tekniske installasjoner er ingen hindring for målingene. Disse forhold kan begrense muligheten for og brukbarheten av seismiske og elektriske målinger. Områdene som ønskes undersøkt er av de mest bebygde i Trøndelag og er typiske pressområder.

Forventede produkter

1. Tyngdeanomali-kart/profiler over dalområdene med omgivelser.
2. Tolknings-kart/profiler over løsmassemektigheter og fjelloverflatens forløp.
3. Volum og masseberegning av løsmassene i dalførrene.

Bruk av dataene

1. De kan gi bedre forståelse av den geomorfologiske utvikling av dalførrene i løpet av kvartærtiden.
2. For vurdering av den kvartærgeologiske utvikling vil det være viktig å ha kjennskap til størrelsen av løsmasseavsetningene.
3. For planleggings- og utbyggingsformål vil det alltid være nyttig å ha kjennskap til fjelloverflatens forløp under løsmassene.
4. Målingene vil redusere omfanget og nødvendigheten av andre geofysiske målinger og borer i forbindelse med kartlegging, planlegging og utbygging. Disse kan da lettere konsentreres om utvalgte områder og for nærmere kartlegging av løsmasstyper.
5. Når et dalområde er målt gravimetrisk vil det være lett å gjøre utfyllende målinger innen bestemte områder senere.
6. En del av målingene vil gå naturlig inn som en videreføring av de regionale målingene som allerede er utført innenfor kartbladet (oppdrag 1377).

## KORT BESKRIVELSE AV GRAVIMETRI

Tyngdekraften er et naturfenomen som alle mennesker er fortrolig med, men tyngdeloven ble ikke formulert før i 1687 av Isaac Newton. Newtons lov er enkel,  $K=G \frac{M \cdot m}{R^2}$ , eller med ord: To legemer trekker på hverandre med en kraft (K) som er proporsjonal med legemenes masser (M og m) og omvendt proporsjonal med kvadratet på avstanden mellom dem ( $R^2$ ). G i formelen er en konstant.

Størstedelen av den tyngdekraften merker på jordoverflaten skyldes Jordens enorme masse som kan tenkes konsentrert i Jordens midtpunkt. Denne masse virker på mindre masser (gjenstander, mennesker osv.).

Hvis jorden ikke roterte og var fullstendig kuleformet og homogen, ville en ha samme tyngdekraft over alt på Jordoverflaten. Dette er ikke tilfelle, flatttrykkingen ved polene gjør at en der er 21 km nærmere Jordens tyngdepunkt enn ved ekvator, og sammen med sentrifugalkraften gjør dette at en har større tyngdekraft på polene enn ved ekvator.

Hvis en mäter tyngdekraften over en lett bergart, vil en få mindre tyngde enn normalt for breddegraden fordi en da har mindre masse like under observasjonspunktet. Over en malmforekomst-eller bergart med stor egenvekt vil en observere større tyngde enn normalt.

I første omgang fikk gravimetrien stor betydning for utrekning av Jordens form og Jordskorpens sammensetning i grove trekk. Til nøyaktig måling av tyngdekraften, eller det en egentlig er ute etter, tyngdens akselerasjon g, bruker en pendel-målinger. Dette er tidkrevende og innviklete målinger, hvor svingetiden for en pendel brukes til å bestemme absoluttverdien av g.

Det var først da en utviklet de moderne instrumentene som hurtig måler relative verdier eller tyngdeforskjeller, at gravimetrien også fikk stor anvendelse innen malmleting og for berekning av mindre geologiske strukturer.

NGU har et Worden gravimeter og et LaCoste & Romberg gravimeter. I grove trekk er slike instrumenter fjærvekter. På et sted med stor g blir massen i fjæra dratt lenger ned enn på et sted med mindre g. Forlengelsen av fjæra er da et mål for g på stedet. For at temperatursvigninger ikke skal influere på målingene, er instrumentene bygget inne i termos-flasker". De nyeste instrumentene har dessuten batteri og termostat for å oppnå konstant temperatur.

Enheten Gal ( $\text{cm/sek}^2$ ) blir brukt når det gjelder tyngde, men i gravimetrien benyttes mest milliGal. På våre breddegrader er g normalt ca.  $9.81 \text{ m/sek}^2 = 981 \text{ Gal} = 981\,000 \text{ milliGal}$ .

På Worden gravimetret kan en lese av tyngdevariasjoner på 0.01 milliGal, på LaCoste & Romberg gravimetret 0.001 milliGal.

Instrumentene er små og lette, og en mann kan utføre målingene alene, hver observasjon tar bare et par minutter. På grunn av drift i instrumentene og daglige variasjoner i tyngden forårsaket av sol og måne, må en flere ganger om dagen tilbake til et fast punkt og ta ny observasjon for å få en "driftskurve".

Når de innsamlede tyngdemålingene skal bearbeides, må en innføre en hel del korrekksjoner, slik at de anomaliene en får fram kun skyldes forhold nede i grunnen.

Fordi avstanden til jordens massemidtpunkt spiller så stor rolle, (en høydeforskjell på 5 cm vil utgjøre 0.01 milliGal), må en ha høyden på alle målepunktene, og alle observasjonene må reduseres til ett nivå. Ved undersøkelser av mindre strukturer eller malmforekomster må punktene nivelleres, mens en ved større regionale undersøkelser ikke trenger den samme nøyaktighet og kan velge målepunkter med kjent høyde direkte fra kart.

Breddegradskorreksjon, driftskorreksjon og høydekorreksjon er enkelt og raskt å gjøre, men i et land som Norge vil også topografien ha stor innflytelse på målingene. Hvis det er et fjell eller en knaus i nærheten av et observasjonspunkt, vil fjellets masse virke på instrumentene. Massen som ligger høyere enn instrumentene vil virke med en kraft oppover, og en får for lav verdi. En dal vil ha samme virkning da der mangler en masse som skulle ha virket nedover.

Korreksjonen for terrengoverflaten var før svært arbeids-krevende å beregne, men etter at datateknikken er tatt i bruk går det greit. Det er nødvendig at en har gode kart over området rundt målepunktene.

Etter at reduksjonsarbeidet er gjort, og en trekker fra den tyngde en teoretisk skulle ha på stedet, vil en få et Bouguer-anomalikart. (Bouguer var en fransk geodet). De anomaliene en da har, skyldes bare forhold (egenvektsfor-delinger) nede i grunnen.

En tyngdeanomali kan skyldes et uendelig antall kombinasjoner av egenvektskontrast og dimensjon på den kroppen en har nede i grunnen. Men som regel vet en hva slags egenvekter en har med å gjøre, og en har også andre opplysninger om geologien som begrenser antall muligheter.

Det en ofte gjør når en skal tolke en tyngdeanomali, er at en tenker seg visse modeller som er sannsynlige og berekner hvilke anomalier disse ville forårsake. En sammenlikner så med de observerte anomaliene og varierer dimensjonene på modellene til en får samme anomalier som de observerte.

Sted : VERDAL

Oppdragsnr. : 2243

Målingene utført i 1986 Beregningene utført i FEB 1992

***** Stasjon Profil Punkt	Bredde-grad	Lengde-grad	UTM-sone	UTM-nord	UTM-øst	Høyde (i m)	Observeret tyngde	Bouguer-korr.	Frilufts-korr.	Bouguer-anomali
1N 50N	63 47.28	11 26.58	32V	620380	7075875	3.88	982158.085	.44	-44.26	
100N	63 47.31	11 26.58	32V	620380	7075924	3.85	982158.247	.44	-44.15	
150N	63 47.36	11 26.59	32V	620383	7076026	3.87	982158.378	.44	-44.05	
200N	63 47.39	11 26.59	32V	620385	7076076	3.75	982158.564	.42	-43.92	
250N	63 47.42	11 26.60	32V	620385	7076125	3.79	982158.652	.43	-43.86	
300N	63 47.44	11 26.60	32V	620386	7076175	3.60	982158.794	.41	-43.79	
350N	63 47.47	11 26.60	32V	620386	7076226	3.49	982158.821	.40	-43.81	
400N	63 47.50	11 26.61	32V	620387	7076276	3.48	982158.752	.39	-43.90	
450N	63 47.53	11 26.61	32V	620388	7076327	3.51	982158.560	.40	-44.16	
500N	63 47.55	11 26.62	32V	620391	7076376	3.70	982158.443	.42	-44.26	
550N	63 47.58	11 26.62	32V	620392	7076426	3.81	982158.352	.43	-44.37	
600N	63 47.61	11 26.62	32V	620394	7076477	3.71	982158.321	.42	-44.45	
650N	63 47.63	11 26.63	32V	620395	7076527	3.83	982158.269	.43	-44.50	
700N	63 47.66	11 26.63	32V	620397	7076577	2.89	982158.492	.33	-44.51	
750N	63 47.69	11 26.64	32V	620398	7076625	3.09	982158.455	.35	-44.54	
800N	63 47.71	11 26.64	32V	620399	7076675	3.20	982158.487	.36	-44.51	
850N	63 47.74	11 26.64	32V	620399	7076727	3.02	982158.565	.34	-44.50	
900N	63 47.77	11 26.64	32V	620399	7076777	2.67	982158.708	.30	-44.47	
950N	63 47.80	11 26.65	32V	620400	7076827	2.44	982159.311	.05	-44.35	
1000N	63 47.82	11 26.65	32V	620401	7076877	2.0	982159.403	.02	-44.29	
1050N	63 47.85	11 26.66	32V	620401	7076926	0.9	982159.476	.01	-44.21	
1100N	63 47.88	11 26.66	32V	620403	7076977	0.4	982159.544	.00	-44.14	
1150N	63 47.90	11 26.66	32V	620404	7077026	-.05	982159.670	.01	-44.09	
1200N	63 47.93	11 26.67	32V	620405	7077076	-.08	982159.806	.01	-44.03	
1250N	63 47.96	11 26.67	32V	620407	7077125	-.14	982159.910	.02	-44.04	
1300N	63 47.98	11 26.68	32V	620409	7077176	-.22	982160.130	-.01	-44.07	
1350N	63 48.01	11 26.68	32V	620411	7077225	-.28	982160.251	-.02	-44.02	
1400N	63 48.04	11 26.68	32V	620412	7077275	-.33	982160.371	-.03	-44.07	
1450N	63 48.06	11 26.69	32V	620413	7077324	-.50	982160.534	-.04	-43.96	
1500N	63 48.09	11 26.69	32V	620413	7077375	-.48	982160.651	-.05	-43.88	
1550N	63 48.12	11 26.69	32V	620414	7077425	-.58	982160.866	-.07	-43.81	
1600N	63 48.14	11 26.70	32V	620415	7077476	-.59	982161.044	-.08	-43.72	
1650N	63 48.17	11 26.70	32V	620416	7077526	-.69	982161.154	-.11	-43.62	
1700N	63 48.20	11 26.71	32V	620417	7077576	-.93	982161.356	-.15	-43.53	
1750N	63 48.22	11 26.73	32V	620418	7077626	-.78	982162.150	-.09	-43.36	
1800N	63 48.23	11 26.72	32V	620417	7077823	-.63	982162.239	-.07	-43.22	
1850N	63 48.23	11 26.73	32V	620420	7077874	-.69	982162.233	-.03	-43.17	
1900N	63 48.26	11 26.73	32V	620420	7077923	-.30	982162.216	-.00	-42.99	
1950N	63 48.41	11 26.73	32V	620423	7078024	-.01	982162.05	-.26	-42.49	
2000N	63 48.41	11 26.73	32V	620423	7078074	.47	982162.212	-.27	-42.17	
2050N	63 48.49	11 26.73	32V	620421	7078124	.48	982162.304	-.10	-42.10	
2100N	63 48.52	11 26.74	32V	620421	7078174	.89	982162.315	-.27	-42.12	
2150N	63 48.55	11 26.74	32V	620420	7078224	2.36	982161.982	-.25	-41.98	
2200N	63 48.57	11 26.72	32V	620420	7078271	2.22	982162.169	-.28	-41.88	
2250N	63 48.60	11 26.70	32V	620384	7078316	2.23	982162.305	-.25	-41.82	
2300N	63 48.62	11 26.68	32V	620365	7078360	2.69	982162.468	-.30	-41.78	
2350N	63 48.65	11 26.65	32V	620343	7078406	2.69	982162.443	-.45	-41.78	
2400N	63 48.67	11 26.64	32V	620335	7078457	3.94	982162.126	-.31	-41.72	

Sted : VERDAL

Oppdragsnr. : 2243

Målingene utført i 1986 Beregningene utført i FEB 1992

Stasjon profil punkt	Bredde-grad	Lengde-grad	UTM-sone	UTM-nord	Høyde (i m)	Observert tyngde	Bouguer-korr.	Frilufts-korr.	Bouguer- anomali
1 2700N	63 48.70	11 26.68	32V	620360	7078500	3.62	982162.292	.41	-41.70
1 2750N	63 48.72	11 26.70	32V	620381	7078545	3.96	982162.254	.45	-41.69
1 2800N	63 48.75	11 26.72	32V	620390	7078595	5.18	982162.032	.59	-41.71
1 2850N	63 48.77	11 26.73	32V	620392	7078645	7.72	982161.543	.87	-41.73
1 2900N	63 48.80	11 26.74	32V	620396	7078745	11.37	982160.841	1.60	-41.80
1 2950N	63 48.83	11 26.74	32V	620400	7078797	14.12	982160.287	1.77	-41.81
1 3000N	63 48.86	11 26.74	32V	620404	7078846	15.60	982160.041	1.87	-41.78
1 3050N	63 48.88	11 26.75	32V	620403	7078898	16.52	982159.532	2.05	-41.88
1 3100N	63 48.91	11 26.75	32V	620406	7078948	18.56	982159.293	2.25	-41.87
1 3150N	63 48.94	11 26.76	32V	620409	7078999	22.93	982158.787	2.60	-41.74
1 3200N	63 48.96	11 26.76	32V	620412	7079032	26.10	982158.092	2.96	-41.84
1 3235N	63 48.98	11 26.77	32V	620412	7079032	26.10	982159.912	1.87	-41.84
1 3250S	63 47.26	11 26.58	32V	620380	7075825	23.80	982157.926	1.90	-44.43
1 3300S	63 47.23	11 26.57	32V	620380	7075776	23.75	982157.791	2.00	-44.53
1 3350S	63 47.20	11 26.57	32V	620378	7075725	23.78	982157.642	2.11	-44.63
1 3400S	63 47.18	11 26.57	32V	620378	7075674	3.89	982157.482	2.22	-44.73
1 3450S	63 47.15	11 26.57	32V	620378	7075624	3.89	982157.381	2.44	-44.80
1 3500S	63 47.12	11 26.56	32V	620378	7075574	3.84	982157.309	2.44	-44.86
1 3550S	63 47.09	11 26.56	32V	620378	7075524	3.69	982157.283	2.47	-44.90
1 3600S	63 47.07	11 26.55	32V	620370	7075475	4.16	982157.123	2.23	-44.87
1 3650S	63 47.04	11 26.52	32V	620352	7075430	3.81	982157.190	2.22	-44.82
1 3700S	63 47.02	11 26.50	32V	620332	7075385	3.59	982157.249	2.33	-44.80
1 3750S	63 47.00	11 26.47	32V	620312	7075338	3.95	982157.183	2.33	-44.76
1 3800S	63 46.97	11 26.45	32V	620300	7075290	3.58	982157.256	2.41	-44.73
1 3850S	63 46.94	11 26.45	32V	620295	7075240	3.09	982157.359	2.35	-44.59
1 3900S	63 46.91	11 26.44	32V	620295	7075186	2.06	982157.650	2.33	-44.55
1 3950S	63 46.89	11 26.45	32V	620302	7075135	2.43	982157.606	2.23	-44.40
1 4000S	63 46.86	11 26.46	32V	620314	7075088	1.54	982157.885	2.23	-44.40
1 4050S	63 46.83	11 26.46	32V	620312	7075038	1.36	982157.998	2.42	-44.28
1 4100S	63 46.81	11 26.46	32V	620312	7074985	2.20	982157.822	2.25	-44.26
1 4150S	63 46.78	11 26.45	32V	620306	7074935	2.62	982157.843	2.30	-44.11
1 4200S	63 46.75	11 26.44	32V	620306	7074885	2.59	982157.882	2.25	-44.02
1 4250S	63 46.73	11 26.43	32V	620296	7074835	2.55	982157.007	2.29	-43.89
1 4300S	63 46.70	11 26.42	32V	620296	7074785	2.55	982158.108	2.25	-43.76
1 4350S	63 46.67	11 26.41	32V	620285	7074735	1.95	982158.351	2.22	-43.60
1 4400S	63 46.65	11 26.40	32V	620280	7074685	1.91	982158.673	2.26	-43.42
1 4450S	63 46.62	11 26.39	32V	620275	7074635	1.91	982158.801	2.27	-43.22
1 4500S	63 46.59	11 26.38	32V	620275	7074610	1.93	982158.837	2.28	-43.10
1 4550S	63 46.56	11 26.37	32V	620252	7074574	1.77	982158.950	2.24	-43.02
1 4600S	63 46.54	11 26.36	32V	620230	7074529	1.54	982158.900	2.39	-42.88
1 4650S	63 46.49	11 26.35	32V	620162	7074395	1.57	982159.266	1.87	-42.51
1 4700S	63 46.47	11 26.22	32V	620139	7074352	1.77	982159.409	2.00	-42.30
1 4750S	63 46.44	11 26.18	32V	620115	7074305	1.71	982159.601	2.19	-42.07
1 4800S	63 46.42	11 26.15	32V	620092	7074262	1.59	982159.839	2.00	-41.84
1 4850S	63 46.40	11 26.13	32V	620070	7074218	1.75	982160.027	2.29	-41.60
1 4900S	63 46.38	11 26.10	32V	620050	7074174	1.92	982160.136	2.22	-41.43
1 4950S	63 46.35	11 26.07	32V	620024	7074127	2.07	982160.550	2.30	-41.00
1 5000S	63 46.33	11 26.04	32V	619975	7074037	1.86	982161.163	2.30	-40.68
1 5050S	63 46.30	11 26.00	32V	619975	7074037	1.57	982161.57	2.30	-40.32

Sted : VERDAL

Målingene utført i 1986

Beregningene utført i FEB 1992

Oppdragsnr. : 2243

Beregningene utført i FEB 1992

**** Stasjonspunkt	Breddegrad	Lengdegrad	UTM-nord	UTM-øst	UTM-sone	Høyde (i m)	Observert tyngde	Bouguer-korr.	Friulufts-korr.	Terreng-korr.	Bouguer-anomali
1 2450S	63 46.28	11 25.97	619950	7073990	1.57	982161.671	.18	-39.83	.48	-39.83	
2 2500S	63 46.26	11 25.94	619928	7073950	1.29	982162.033	.26	-39.29	.71	-39.29	
3 1N 50N	63 47.59	11 29.16	622447	7076524	6.49	982156.056	.74	-46.29	2.06	-46.29	
4 100N 150N	63 47.62	11 29.15	6224465	7076576	6.67	982156.203	.76	-45.96	2.06	-45.96	
5 200N 300N	63 47.65	11 29.14	6224457	7076630	7.12	982156.440	.81	-45.67	2.20	-45.67	
6 350N 400N	63 47.67	11 29.13	6224448	7076674	6.82	982156.725	.77	-45.46	2.10	-45.46	
7 450N 500N	63 47.70	11 29.12	6224435	7076724	6.67	982156.884	.76	-45.35	2.06	-45.35	
8 550N 600N	63 47.72	11 29.11	6224427	7076774	6.67	982156.956	.76	-45.31	2.04	-45.31	
9 650N 700N	63 47.75	11 29.10	6224414	7076820	6.62	982157.024	.75	-45.30	2.04	-45.30	
10 750N 800N	63 47.78	11 29.08	6224401	7076869	7.23	982156.866	.82	-45.36	2.23	-45.36	
11 850N 900N	63 47.80	11 29.07	6223390	7076915	8.46	982156.553	.96	-45.46	2.15	-45.46	
12 950N 1000N	63 47.83	11 29.06	6223376	7076964	8.46	982156.085	1.16	-45.62	2.06	-45.62	
13 1050N 1100N	63 47.85	11 29.05	6223365	7077012	1.21	982156.468	1.16	-45.75	2.04	-45.75	
14 1150N 1200N	63 47.88	11 29.03	6223350	7077061	15.51	982154.840	2.05	-45.90	2.04	-45.90	
15 1250N 1300N	63 47.91	11 29.02	6223337	7077109	18.13	982154.152	2.05	-46.11	2.04	-46.11	
16 1350N 1400N	63 47.93	11 29.00	6223324	7077159	20.77	982153.404	2.05	-46.58	2.23	-46.58	
17 1450N 1500N	63 47.96	11 28.99	6223311	7077205	23.06	982152.770	2.05	-46.61	2.15	-46.61	
18 1550N 1600N	63 47.99	11 28.98	622296	7077255	24.19	982152.542	2.05	-46.61	2.15	-46.61	
19 1700N 1750N	63 48.01	11 28.96	622283	7077303	25.18	982152.354	2.05	-46.56	2.15	-46.56	
20 1800N 1850N	63 48.04	11 28.94	622264	7077349	25.01	982152.475	2.05	-46.57	2.15	-46.57	
21 1900N 1950N	63 48.06	11 28.93	622251	7077398	24.92	982152.497	2.05	-46.64	2.15	-46.64	
22 2000N 2050N	63 48.09	11 28.92	622240	7077445	24.85	982152.567	2.05	-46.64	2.15	-46.64	
23 2100N 2150N	63 48.12	11 28.90	622222	7077493	24.85	982152.533	2.05	-46.64	2.15	-46.64	
24 2200N 2250N	63 48.14	11 28.88	622208	7077539	24.77	982152.489	2.05	-46.72	2.15	-46.72	
25 2300N 2350N	63 48.17	11 28.87	622196	7077588	24.80	982152.406	2.05	-46.84	2.15	-46.84	
26 2400N 2450N	63 48.19	11 28.86	622185	7077635	24.73	982152.364	2.05	-46.93	2.15	-46.93	
27 2500N 2550N	63 48.22	11 28.84	622172	7077683	24.72	982152.325	2.05	-47.00	2.15	-47.00	
28 2600N 2650N	63 48.24	11 28.83	622160	7077733	24.66	982152.330	2.05	-47.04	2.15	-47.04	
29 2700N 2750N	63 48.27	11 28.82	622150	7077784	24.42	982152.397	2.05	-47.04	2.15	-47.04	
30 2800N 2850N	63 48.30	11 28.81	622138	7077831	23.55	982152.613	2.05	-47.04	2.15	-47.04	
31 2900N 2950N	63 48.32	11 28.79	622118	7077876	22.53	982152.888	2.05	-46.96	2.15	-46.96	
32 3000N 3050N	63 48.35	11 28.76	622088	7077915	20.79	982153.375	2.05	-46.72	2.15	-46.72	
33 3100N 3150N	63 48.36	11 28.75	622044	7077940	18.24	982154.022	2.05	-46.54	2.15	-46.54	
34 3200N 3250N	63 48.38	11 28.70	622005	7077973	15.43	982154.756	2.05	-46.34	2.15	-46.34	
35 3300N 3350N	63 48.38	11 28.65	621979	7078018	14.00	982155.234	2.05	-45.90	2.15	-45.90	
36 3400N 3450N	63 48.40	11 28.63	621956	7078064	14.03	982155.727	2.05	-45.44	2.15	-45.44	
37 3500N 3550N	63 48.43	11 28.60	621936	7078105	14.13	982156.193	2.05	-45.11	2.15	-45.11	
38 3600N 3650N	63 48.45	11 28.58	621911	7078150	14.95	982156.390	2.05	-44.88	2.15	-44.88	
39 3700N 3750N	63 48.48	11 28.55	621888	7078194	15.86	982156.473	2.05	-44.65	2.15	-44.65	
40 3800N 3850N	63 48.50	11 28.52	621865	7078237	16.73	982156.536	2.05	-44.29	2.15	-44.29	
41 3900N 3950N	63 48.52	11 28.48	621848	7078285	16.67	982156.890	2.05	-44.35	2.15	-44.35	
42 4000N 4050N	63 48.55	11 28.47	621837	7078330	20.31	982155.472	2.05	-44.30	2.15	-44.30	
43 4100N 4150N	63 48.57	11 28.43	621805	7078374	24.03	982155.106	2.05	-44.29	2.15	-44.29	
44 4200N 4250N	63 48.60	11 28.41	621784	7078420	26.20	982155.659	2.05	-44.28	2.15	-44.28	
45 4300N 4350N	63 48.62	11 28.39	621765	7078465	28.85	982154.437	2.05	-44.21	2.15	-44.21	
46 4400N 4450N	63 48.65	11 28.37	621746	7078512	30.13	982154.395	2.05	-44.16	2.15	-44.16	
47 4500N 4550N	63 48.70	11 28.35	621730	7078560	30.74	982154.360	2.05	-44.08	2.15	-44.08	
48 4600N 4650N	63 48.73	11 28.33	621715	7078608	32.61	982154.079	2.05	-44.06	2.15	-44.06	
49 4700N 4750N	63 48.75	11 28.30	621682	7078707	34.88	982153.823	2.05	-44.10	2.15	-44.10	
50 4800N 4850N	63 48.78	11 28.30	621682	7078707	34.88	982153.823	2.05	-44.10	2.15	-44.10	

Sted : VERDAL

Oppdragsnr. : 2243 Målingene utført i 1986/87 Beregningene utført i FEB 1992

***** Stasjon ***** Profil punkt	Bredde- grad	Lengde- grad	UTM- sone	UTM- øst	UTM- nord	Høyde (i m)	Observert tyngde	Bouguer- korr.	Frilufts- korr.	Terreng- korr.	Bouguer- anomali
2 2400N	63 48.80	11 28.28	32V	621668	7078750	37.69	982153.432	.27	.40	11.62	-43.96
2 50S	63 47.56	11 29.17	32V	622485	7076427	6.54	982155.427	.74	.26	-46.68	* * * * *
100S	63 47.54	11 29.18	32V	622491	7076377	6.72	982155.066	.76	.26	-47.21	* * * * *
150S	63 47.51	11 29.19	32V	622507	7076327	6.81	982154.796	.77	.26	-47.39	* * * * *
200S	63 47.48	11 29.19	32V	622512	7076280	6.53	982154.623	.74	.27	-47.53	* * * * *
250S	63 47.46	11 29.19	32V	622525	7076230	6.66	982154.437	.75	.26	-47.55	* * * * *
300S	63 47.43	11 29.21	32V	622526	7076180	5.64	982154.699	.57	.27	-47.54	* * * * *
350S	63 47.40	11 29.20	32V	622457	7075892	3.64	982154.951	.41	.26	-47.12	* * * * *
400S	63 47.38	11 29.20	32V	622471	7075843	5.22	982155.036	.38	.26	-47.02	* * * * *
450S	63 47.35	11 29.20	32V	622495	7075800	5.06	982154.926	.43	.27	-47.17	* * * * *
500S	63 47.32	11 29.19	32V	622521	7076029	4.86	982154.723	.55	.26	-47.43	* * * * *
550S	63 47.29	11 29.19	32V	622482	7075977	5.59	982154.657	.64	.26	-47.30	* * * * *
600S	63 47.27	11 29.17	32V	622457	7075934	5.53	982154.779	.63	.26	-47.11	* * * * *
650S	63 47.25	11 29.11	32V	622471	7075892	5.18	982154.973	.59	.26	-47.00	* * * * *
700S	63 47.22	11 29.12	32V	622495	7075765	5.22	982155.074	.59	.27	-46.61	* * * * *
750S	63 47.20	11 29.15	32V	622530	7075765	4.99	982155.266	.57	.27	-46.56	* * * * *
800S	63 47.18	11 29.19	32V	622569	7075732	4.94	982155.452	.57	.27	-46.54	* * * * *
850S	63 47.16	11 29.23	32V	622605	7075695	5.24	982155.618	.59	.28	-46.62	* * * * *
900S	63 47.14	11 29.12	32V	622640	7075661	5.12	982155.882	.58	.28	-45.98	* * * * *
950S	63 47.10	11 29.15	32V	622678	7075630	5.38	982156.060	.61	.29	-45.72	* * * * *
100S	63 47.09	11 29.36	32V	622720	7075600	5.65	982156.183	.64	.29	-45.41	* * * * *
110S	63 47.07	11 29.46	32V	622760	7075572	5.37	982156.365	.61	.30	-45.35	* * * * *
115S	63 47.07	11 29.28	32V	622801	7075544	5.12	982156.399	.56	.31	-45.52	* * * * *
120S	63 47.04	11 29.51	32V	622836	7075510	4.93	982156.319	.56	.31	-45.00	* * * * *
125S	63 47.04	11 29.51	32V	622813	7075349	4.31	982157.615	.04	.36	-44.99	* * * * *
130S	63 47.04	11 29.51	32V	622810	7075322	1.57	982157.260	.18	.35	-44.72	* * * * *
135S	63 47.04	11 29.51	32V	622817	7075275	1.31	982157.368	.15	.36	-44.58	* * * * *
140S	63 47.04	11 29.51	32V	622820	7075225	2.72	982157.067	.31	.33	-44.91	* * * * *
145S	63 47.04	11 29.51	32V	622800	7075179	2.77	982157.111	.31	.33	-44.83	* * * * *
150S	63 47.04	11 29.51	32V	622779	7075132	2.56	982157.232	.29	.33	-44.79	* * * * *
155S	63 47.04	11 29.51	32V	622840	7075054	2.43	982157.316	.28	.35	-44.75	* * * * *
160S	63 47.04	11 29.51	32V	622860	7075005	2.51	982157.337	.28	.37	-44.77	* * * * *
165S	63 46.94	11 29.51	32V	622882	7074964	2.55	982157.452	.18	.40	-44.50	* * * * *
170S	63 46.94	11 29.51	32V	622820	7074918	2.28	982157.411	.21	.42	-44.43	* * * * *
175S	63 46.94	11 29.51	32V	622800	7074872	1.82	982157.571	.21	.45	-44.37	* * * * *
180S	63 46.94	11 29.51	32V	622779	707484	1.57	982155.661	1.31	.42	-44.23	* * * * *
185S	63 46.91	11 29.51	32V	622880	7074784	1.68	982155.783	1.32	.43	-44.21	* * * * *
190S	63 46.88	11 29.51	32V	622882	7074734	1.68	982155.783	1.32	.43	-44.04	* * * * *
195S	63 46.86	11 29.49	32V	622904	7074700	1.80	982156.325	1.22	.43	-43.84	* * * * *
200S	63 46.83	11 29.46	32V	622925	7074659	1.80	982156.222	1.50	.45	-43.07	* * * * *
205S	63 46.83	11 29.53	32V	622916	7074637	1.80	982156.165	1.56	.47	-42.6	* * * * *
210S	63 46.76	11 29.55	32V	622860	7074605	1.5	982152.874	.02	.46	-41.05	* * * * *
215S	63 46.74	11 29.58	32V	622882	7074564	3.36	982152.054	.38	.43	-40.99	* * * * *
220S	63 46.72	11 29.60	32V	622904	7074522	2.28	982151.966	.38	.43	-40.09	* * * * *
225S	63 46.69	11 29.63	32V	622925	7074487	1.80	982151.779	.40	.43	-39.83	* * * * *
230S	63 46.64	11 29.61	32V	622916	7074478	1.68	982151.688	.45	.41	-39.83	* * * * *
235S	63 46.62	11 29.62	32V	622922	7074434	1.68	982151.252	.62	.42	-39.83	* * * * *
240S	63 46.60	11 29.69	32V	622904	7074395	3.32	982151.179	.64	.42	-39.82	* * * * *
245S	63 46.57	11 29.73	32V	623022	7074359	3.56	982151.779	.40	.43	-39.82	* * * * *
250S	63 46.57	11 29.76	32V	623041	7074337	1.80	982151.688	.45	.41	-39.82	* * * * *
1200N	63 47.18	11 32.03	32V	624861	7075866	1.5	982152.874	.02	.46	-41.07	* * * * *
1250N	63 47.21	11 32.03	32V	624858	7075915	3.36	982152.054	.38	.43	-40.99	* * * * *
1300N	63 47.23	11 32.07	32V	624895	7075950	3.32	982151.966	.38	.43	-41.02	* * * * *
1350N	63 47.25	11 32.11	32V	624925	7075990	3.56	982151.779	.40	.43	-40.99	* * * * *
1400N	63 47.27	11 32.10	32V	624913	7076033	4.01	982151.688	.45	.41	-41.24	* * * * *
1450N	63 47.30	11 32.11	32V	624916	7076083	5.52	982151.284	.63	.41	-41.70	* * * * *
1500N	63 47.33	11 32.12	32V	624920	7076132	5.44	982151.252	.62	.42	-41.68	* * * * *
1550N	63 47.35	11 32.12	32V	624922	7076182	5.63	982151.153	.61	.41	-41.67	* * * * *
1600N	63 47.38	11 32.12	32V	624925	7076232	5.42	982151.153	.61	.41	-40.82	* * * * *

Oppdragsnr. : 2243

Målingene utført i 1986/87 Beregningene utført i FEB 1992

Sted : VERDAL

Stasjon Punkt	Bredde- grad.	Lengde- grad.	UTM- øst	UTM- nord	Høyde (1 m)	Observert tyngde	Bouguer korr.	Friulfts- korr.	Bouguer- anomali
3 1650N	63 47 41	11 32 14	32V	624936	7076280	5.33	982151.291	.43	-50.71
3 1700N	63 47 43	11 32 15	32V	624943	7076328	4.80	982151.398	.44	-50.72
3 1750N	63 47 46	11 32 16	32V	624951	7076378	5.82	982151.196	.43	-50.77
3 1800N	63 47 49	11 32 17	32V	624955	7076428	6.66	982151.145	.43	-50.69
3 1850N	63 47 51	11 32 19	32V	624970	7076476	7.83	982151.008	.43	-50.63
3 1900N	63 47 54	11 32 21	32V	624983	7076524	8.53	982150.944	.41	-50.61
3 1950N	63 47 56	11 32 23	32V	625000	7076570	8.65	982151.126	.40	-50.43
3 2000N	63 47 59	11 32 25	32V	625015	7076621	9.82	982151.295	.41	-50.28
3 2050N	63 47 61	11 32 27	32V	625030	7076669	8.63	982151.508	.42	-50.10
3 2100N	63 47 64	11 32 29	32V	625043	7076720	8.52	982151.732	.42	-4.94
3 2150N	63 47 66	11 32 31	32V	625056	7076765	8.25	982151.980	.43	-4.975
3 2200N	63 47 69	11 32 32	32V	625065	7076820	8.88	982152.099	.01	-4.953
3 2250N	63 47 72	11 32 33	32V	625080	7076870	9.82	982152.036	.44	-4.953
3 2300N	63 47 75	11 32 35	32V	625094	7076918	12.63	982151.476	.43	-4.951
3 2350N	63 47 77	11 32 37	32V	625107	7076965	14.74	982151.008	.67	-4.959
3 2400N	63 47 80	11 32 38	32V	625120	7077012	16.27	982150.671	.84	-4.968
3 2450N	63 47 82	11 32 40	32V	625134	7077064	17.79	982150.509	.90	-4.976
3 2500N	63 47 85	11 32 42	32V	625150	7077109	17.80	982150.189	.92	-4.990
3 2550N	63 47 90	11 32 44	32V	625163	7077208	17.92	982150.083	.03	-50.00
3 2600N	63 47 93	11 32 46	32V	625179	7077255	17.89	982149.943	.03	-50.21
3 2650N	63 47 95	11 32 48	32V	625192	7077301	19.13	982149.359	.33	-50.52
3 2700N	63 47 98	11 32 50	32V	625206	7077351	20.59	982149.359	.45	-5.90
3 2750N	63 48 00	11 32 52	32V	625222	7077400	22.50	982148.984	.48	6.35
3 2800N	63 48 03	11 32 54	32V	625235	7077446	24.24	982148.642	.75	7.48
3 2850N	63 48 05	11 32 56	32V	625253	7077493	24.82	982148.546	.81	7.65
3 2900N	63 48 08	11 32 58	32V	625268	7077542	26.20	982148.297	.97	8.08
3 2950N	63 48 10	11 32 61	32V	625282	7077587	29.50	982147.433	.34	9.08
3 3000N	63 48 13	11 32 64	32V	625296	7077637	34.58	982146.288	.42	10.66
3 3050N	63 48 15	11 32 66	32V	625308	7077684	36.26	982145.866	.11	-5.100
3 3100N	63 48 18	11 32 68	32V	625324	7077733	36.15	982145.935	.10	-5.101
3 3150N	63 48 20	11 32 70	32V	625338	7077780	34.72	982146.317	.93	-5.096
3 3200N	63 48 23	11 32 72	32V	625350	7077829	32.52	982146.807	.68	-5.091
3 3250N	63 48 26	11 32 74	32V	625344	7077876	33.41	982146.570	.79	-5.088
3 3300N	63 48 28	11 32 76	32V	625360	7077925	34.22	982146.352	.88	-5.088
3 3350N	63 48 31	11 32 78	32V	625375	7077974	35.25	982146.353	.99	-5.093
3 3400N	63 48 33	11 32 80	32V	625390	7078021	35.94	982146.257	.07	-5.092
3 3450N	63 48 36	11 32 82	32V	625402	7078073	36.25	982146.290	.42	-5.084
3 3500N	63 48 39	11 32 84	32V	625417	7078119	36.25	982146.171	.44	-5.084
3 3550N	63 48 41	11 32 86	32V	625431	7078168	36.58	982146.414	.19	-5.063
3 3600N	63 48 44	11 32 88	32V	625445	7078216	36.94	982146.554	.53	-5.042
3 3650N	63 48 46	11 32 90	32V	625458	7078262	39.21	982146.186	.44	-5.011
3 3700N	63 48 49	11 32 92	32V	625470	7078312	41.66	982145.636	.72	-5.095
3 3750N	63 48 51	11 32 94	32V	625486	7078358	44.48	982145.290	.78	-5.016
3 3800N	63 48 54	11 32 96	32V	625498	7078407	52.47	982145.661	.82	-5.010
3 3850N	63 48 56	11 32 98	32V	625510	7078502	66.32	982140.903	.93	-5.017
3 3900N	63 48 59	11 32 100	32V	625522	7078550	71.62	982140.025	.96	-5.045
3 3950N	63 48 61	11 32 102	32V	624900	7078592	2.17	982152.943	.02	-4.968
3 4000N	63 48 64	11 32 104	32V	624884	7078744	2.17	982152.752	.46	-4.949
3 3300S	63 47 14	11 32 07	32V	624900	7078844	2.17	982152.752	.46	-4.949
3 3350S	63 47 12	11 32 05	32V	624884	7078844	2.17	982152.752	.46	-4.949

Sted : VERDAL Oppdragsnr. : 2243 Målingene utført i 1987 Beregningene utført i FEB 1992

*****Stasjon *****Profil punkt	Bredde- grad	Lengde- grad	UTM- sone	UTM- øst	UTM- nord	Høyde (i m)	Observeret tyngde	Bouguer- korrigert	Friulfts- korrigert	Bouguer- anomali
3 400 S	63 47.09	11 32.02	32 V	624863	7075697	2.63	982152.806	.30	.47	-49.30
3 450 S	63 47.07	11 32.00	32 V	624844	7075652	3.09	982152.821	.35	.49	-49.17
3 500 S	63 47.05	11 31.96	32 V	624815	7075608	2.08	982152.132	.24	.50	-48.90
3 550 S	63 47.02	11 31.93	32 V	624794	7075565	5.24	982152.594	.48	.51	-48.75
3 600 S	63 47.00	11 31.90	32 V	624772	7075520	4.52	982152.844	.51	.51	-48.65
3 650 S	63 46.97	11 31.92	32 V	624785	7075471	6.96	982152.355	.79	.51	-48.61
3 700 S	63 46.95	11 31.94	32 V	624804	7075425	8.46	982152.114	.48	.50	-48.59
3 750 S	63 46.92	11 31.96	32 V	624820	7075380	13.54	982151.118	.47	.51	-48.53
3 800 S	63 46.90	11 31.97	32 V	624837	7075334	13.84	982151.111	.57	.52	-48.42
3 850 S	63 46.87	11 31.99	32 V	624853	7075285	13.65	982151.217	.55	.52	-48.46
3 900 S	63 46.85	11 32.01	32 V	624868	7075237	15.49	982150.820	.75	.51	-48.66
3 950 S	63 46.82	11 32.02	32 V	624883	7075192	19.84	982149.756	.25	.50	-48.63
3 1000 S	63 46.80	11 32.04	32 V	624870	7075145	22.9	982148.975	.66	.51	-48.71
3 1050 S	63 46.77	11 31.99	32 V	624856	7075095	22.7	982148.206	.13	.47	-48.63
3 1100 S	63 46.75	11 31.96	32 V	624837	7075050	32.03	982147.315	.83	.47	-48.72
3 1150 S	63 46.72	11 31.95	32 V	624830	7075000	31.73	982147.447	.60	.48	-48.78
3 1200 S	63 46.69	11 31.94	32 V	624828	7074950	32.26	982147.390	.67	.48	-48.88
3 1250 S	63 46.67	11 31.96	32 V	624845	7074901	33.29	982147.120	.75	.48	-48.54
3 1300 S	63 46.64	11 31.98	32 V	624863	7074855	34.93	982146.623	.96	.48	-48.49
3 1350 S	63 46.62	11 32.01	32 V	624888	7074812	38.43	982145.778	.35	.53	-48.55
3 1400 S	63 46.59	11 32.03	32 V	624905	7074764	38.80	982145.633	4.40	.40	-48.45
3 1450 S	63 46.57	11 32.01	32 V	624902	7074721	38.74	982145.656	4.39	.53	-48.51
3 1500 S	63 46.54	11 31.99	32 V	624892	7074676	38.75	982145.759	5.41	.53	-48.59
3 1550 S	63 46.52	11 31.98	32 V	624875	7074635	38.74	982145.819	4.41	.41	-48.47
3 1600 S	63 46.50	11 31.92	32 V	624847	7074635	38.75	982145.841	4.41	.41	-48.19
3 1650 S	63 46.48	11 31.88	32 V	624819	7074594	39.49	982145.841	4.41	.41	-48.02
3 1700 S	63 46.46	11 31.84	32 V	624790	7074550	39.33	982145.952	5.12	.52	-47.90
3 1750 S	63 46.44	11 31.81	32 V	624763	7074510	39.51	982146.054	4.48	.53	-47.59
3 1800 S	63 46.41	11 31.77	32 V	624736	7074470	40.02	982146.034	4.53	.53	-47.34
3 1850 S	63 46.39	11 31.73	32 V	624708	7074426	39.57	982146.241	4.53	.57	-47.23
3 1900 S	63 46.36	11 31.69	32 V	624677	7074387	39.69	982146.350	4.50	.54	-47.20
3 1950 S	63 46.34	11 31.64	32 V	624640	7074355	39.97	982146.415	4.53	.54	-47.18
3 2000 S	63 46.31	11 31.61	32 V	624602	7074320	39.06	982146.480	4.54	.55	-47.13
3 2050 S	63 46.29	11 31.58	32 V	624577	7074279	39.51	982146.607	4.53	.57	-47.12
3 2100 S	63 46.26	11 31.56	32 V	624558	7074231	39.70	982146.833	4.50	.57	-47.11
3 2150 S	63 46.24	11 31.54	32 V	624544	7074188	39.39	982146.674	4.48	.57	-47.10
3 2200 S	63 46.21	11 31.50	32 V	624527	7074140	39.54	982146.634	4.48	.58	-47.08
3 2250 S	63 46.18	11 31.49	32 V	624516	7074090	39.34	982146.722	4.03	.59	-47.07
3 2300 S	63 46.05	11 31.47	32 V	624500	7074040	39.27	982146.598	4.45	.65	-47.09
3 2350 S	63 46.03	11 31.45	32 V	624497	7073992	37.92	982146.833	4.30	.60	-46.97
3 2400 S	63 46.01	11 31.43	32 V	624477	7073945	38.93	982146.509	4.41	.62	-46.92
3 2450 S	63 45.99	11 31.33	32 V	624459	7073895	35.73	982147.164	4.05	.65	-46.83
3 2500 S	63 45.97	11 31.27	32 V	624460	7073845	35.59	982147.228	4.03	.71	-46.67
3 2550 S	63 45.94	11 31.20	32 V	624450	7073796	35.95	982147.152	4.07	.74	-46.61
3 2600 S	63 45.92	11 31.20	32 V	624439	7073746	38.16	982146.719	4.32	.80	-46.42
3 2650 S	63 45.90	11 31.18	32 V	624410	7073705	39.18	982146.613	4.42	.82	-45.89
3 2700 S	63 45.88	11 31.16	32 V	624375	7073662	39.49	982146.647	4.47	.82	-45.83
3 2750 S	63 45.86	11 31.15	32 V	624358	7073619	39.24	982146.801	4.45	.82	-45.81
3 2800 S	63 45.84	11 31.14	32 V	624330	7073537	40.25	982146.852	4.49	.82	-45.89
3 2850 S	63 45.82	11 31.13	32 V	624272	7073494	40.51	982147.079	4.59	.82	-45.82

Målingene utført i 1987 - Beregningene utført i FEB 1992

Oppdragsnr. : 2243

Sted : VERDAL

*****Stasjon Profil punkt	Bredde- grad	Lengde- grad	UTM- sone	UTM- øst	UTM- nord	Høyde (i m)	Observert tyngde	Frilufts- korr.	Terreng- korr.	Bouguer- anomali
2900S	63 45.90	11 31.16	32V	624245	7073455	41.27	982147.117	4.68	-45.70	-45.70
2950S	63 45.88	11 31.13	32V	624216	7073412	42.12	982147.271	4.77	-45.35	-44.99
3000S	63 45.85	11 31.11	32V	624203	7073363	44.27	982147.331	5.02	-45.87	-44.65
4 50N	63 46.34	11 36.30	32V	628430	7074445	20.39	982146.451	5.31	-50.87	-50.29
4 100N	63 46.37	11 36.31	32V	628441	7074495	20.50	982146.441	2.32	-50.90	-6.32
4 150N	63 46.39	11 36.33	32V	628452	7074542	21.05	982146.344	2.39	-50.94	6.49
4 200N	63 46.42	11 36.34	32V	628462	7074639	21.78	982146.419	2.47	-50.97	6.72
4 250N	63 46.45	11 36.36	32V	628473	7074690	21.13	982146.419	2.39	-50.95	6.52
4 300N	63 46.47	11 36.38	32V	628483	7074738	21.15	982146.506	2.40	-50.89	6.32
4 350N	63 46.50	11 36.39	32V	628492	7074787	20.50	982146.730	2.32	-50.82	6.95
4 400N	63 46.53	11 36.40	32V	628502	7074835	21.85	982146.643	2.48	-50.70	6.74
4 450N	63 46.55	11 36.42	32V	628512	7074885	22.52	982146.654	2.55	-50.62	6.95
4 500N	63 46.58	11 36.43	32V	628524	7074934	22.21	982146.677	2.63	-50.51	7.16
4 550N	63 46.60	11 36.45	32V	628532	7074994	24.02	982146.649	2.72	-50.41	6.52
4 600N	63 46.63	11 36.46	32V	628544	7074984	24.66	982146.639	2.82	-50.25	7.61
4 650N	63 46.66	11 36.47	32V	628550	7075032	24.93	982146.701	2.88	-50.18	7.69
4 700N	63 46.68	11 36.49	32V	628560	7075080	25.43	982146.714	2.88	-50.11	7.84
4 750N	63 46.71	11 36.50	32V	628570	7075130	25.91	982146.718	2.94	-50.04	8.00
4 800N	63 46.74	11 36.52	32V	628580	7075180	26.38	982146.727	2.99	-49.97	8.14
4 850N	63 46.76	11 36.53	32V	628590	7075230	28.60	982146.397	3.24	-49.90	8.82
4 900N	63 46.79	11 36.55	32V	628600	7075279	28.60	982146.479	3.24	-49.85	8.85
4 950N	63 46.81	11 36.56	32V	628608	7075326	29.42	982146.433	3.25	-49.80	9.07
4 1000N	63 46.84	11 36.58	32V	628620	7075375	29.57	982146.463	3.25	-49.78	9.12
4 1050N	63 46.87	11 36.59	32V	628632	7075424	28.76	982146.690	3.26	-49.75	8.87
4 1100N	63 46.90	11 36.61	32V	628642	7075474	29.75	982146.479	3.26	-49.86	8.86
4 1150N	63 46.92	11 36.62	32V	628650	7075520	30.07	982146.426	3.40	-49.94	9.37
4 1200N	63 46.94	11 36.64	32V	628662	7075569	30.37	982146.304	3.44	-49.94	9.58
4 1250N	63 46.97	11 36.65	32V	628673	7075617	31.06	982146.100	3.52	-50.04	9.85
4 1300N	63 46.99	11 36.67	32V	628682	7075667	31.95	982145.824	3.62	-50.24	10.97
4 1350N	63 47.02	11 36.68	32V	628692	7075716	32.34	982145.680	3.66	-50.36	11.51
4 1400N	63 47.05	11 36.69	32V	628701	7075766	32.85	982145.485	3.72	-50.61	12.27
4 1450N	63 47.07	11 36.71	32V	628709	7075815	32.99	982145.370	3.74	-50.74	12.77
4 1500N	63 47.10	11 36.72	32V	628715	7075863	33.42	982145.192	3.79	-50.74	13.37
4 1550N	63 47.13	11 36.73	32V	628720	7075912	33.48	982144.936	3.86	-50.74	14.05
4 1600N	63 47.15	11 36.74	32V	628726	7075963	34.05	982144.725	3.90	-51.80	14.45
4 1650N	63 47.18	11 36.76	32V	628732	7076010	34.86	982144.481	3.95	-52.21	14.91
4 1700N	63 47.21	11 36.76	32V	628740	7076060	35.52	982144.187	4.02	-52.45	15.40
4 1750N	63 47.23	11 36.76	32V	628745	7076110	36.04	982143.960	4.08	-52.70	15.26
4 1800N	63 47.26	11 36.77	32V	628749	7076160	36.77	982143.244	4.43	-53.08	15.76
4 1850N	63 47.29	11 36.79	32V	628760	7076210	40.78	982142.766	4.62	-53.19	16.23
4 1900N	63 47.31	11 36.80	32V	628771	7076258	41.53	982142.433	4.71	-53.28	16.75
4 1950N	63 47.34	11 36.82	32V	628781	7076306	43.35	982141.872	4.91	-53.26	16.03
4 2000N	63 47.36	11 36.83	32V	628788	7076355	47.66	982140.810	5.40	-53.18	15.24
4 2050N	63 47.39	11 36.84	32V	628796	7076405	46.87	982140.842	5.79	-53.11	15.24
4 2100N	63 47.41	11 36.87	32V	628801	7076451	51.10	982139.865	5.66	-53.08	15.24
4 2150N	63 47.44	11 36.89	32V	628806	7076500	52.63	982139.478	5.96	-53.19	15.24
4 2200N	63 47.46	11 36.92	32V	628811	7076544	54.32	982139.077	6.15	-53.28	15.24
4 2250N	63 47.49	11 36.95	32V	628817	7076590	51.98	982139.591	5.89	-53.26	15.24
4 2300N	63 47.51	11 36.97	32V	628823	7076635	49.57	982140.150	5.60	-53.18	15.24
4				628894	7076681	49.41	982140.259	5.62		

Sted : VERDAL Oppdragsnr. : 2243 Målingene utført i 1987 Beregningene utført i FEB 1992

***** Stasjon Profil Punkt *****	Bredde- grad	Lengde- grad	UTM- sone	UTM- øst	UTM- nord	Høyde (i m)	Observeret tyngde	Bouguer korr.	Friluftskorr.	Bouguer anomali
4 2350N	63 47.56	11 37.02	32V	628930	7076727	49.48	982140.334	5.61	15.26	-53.03
4 2400N	63 47.58	11 37.05	32V	628950	7076773	50.87	982140.181	5.76	15.69	-52.98
4 2450N	63 47.61	11 37.08	32V	628977	7076818	54.98	982139.461	6.23	16.96	-52.91
4 2500N	63 47.63	11 37.11	32V	628993	7076866	57.61	982139.025	6.53	17.77	-52.87
4 2550N	63 47.66	11 37.14	32V	629019	7076908	66.24	982137.028	7.50	20.43	-53.05
4 2600N	63 47.68	11 37.17	32V	629044	7076951	62.41	982137.840	7.07	19.25	-53.07
4 2650N	63 47.70	11 37.20	32V	629068	7076996	62.68	982137.701	7.10	19.33	-53.07
4 2700N	63 47.72	11 37.23	32V	629090	7077040	70.53	982136.194	7.82	21.77	-53.08
4 2750N	63 47.75	11 37.26	32V	629113	7077082	77.05	982134.721	8.73	23.77	-53.24
4 2800N	63 47.77	11 37.29	32V	629137	7077126	79.15	982134.310	8.97	24.41	-53.45
4 2850N	63 47.79	11 37.32	32V	629162	7077170	83.64	982133.332	9.48	25.79	-53.40
4 2880N	63 47.81	11 37.34	32V	629177	7077196	89.23	982132.267	10.11	27.52	-53.40
4 2900N	63 47.84	11 36.29	32V	629243	7077400	89.23	982132.581	10.11	27.52	-53.40
4 2950N	63 46.29	11 36.23	32V	628417	7074350	19.55	982146.654	2.26	8.90	-50.80
4 3000N	63 46.27	11 36.27	32V	628410	7074300	19.18	982146.716	2.17	8.92	-50.73
4 3050N	63 46.24	11 36.25	32V	628400	7074250	18.77	982146.766	2.13	8.95	-50.69
4 3100N	63 46.21	11 36.24	32V	628385	7074203	18.00	982146.863	2.04	8.87	-50.55
4 3150N	63 46.19	11 36.23	32V	628377	7074151	16.21	982147.926	1.03	4.80	-50.62
4 3200N	63 46.16	11 36.22	32V	628370	7074101	15.55	982147.281	1.04	4.60	-50.58
4 3250N	63 46.13	11 36.21	32V	628361	7074054	14.92	982147.369	1.07	4.28	-50.58
4 3300N	63 46.11	11 36.19	32V	628351	7074003	13.89	982147.534	1.09	4.24	-50.44
4 3350N	63 46.10	11 36.13	32V	628311	7073870	17.91	982148.912	1.27	2.27	-49.98
4 3400N	63 46.04	11 36.10	32V	628298	7073822	9.06	982148.777	1.27	2.27	-49.98
4 3450N	63 46.04	11 36.13	32V	628287	7073774	11.60	982148.093	1.03	4.24	-49.98
4 3500N	63 45.99	11 36.09	32V	628275	7073725	13.74	982147.702	1.17	2.35	-49.95
4 3550N	63 45.96	11 36.07	32V	628262	7073675	15.75	982147.778	1.26	2.42	-49.96
4 3600N	63 45.93	11 36.06	32V	628252	7073625	16.93	982147.702	1.26	2.42	-49.96
4 3650N	63 45.91	11 36.04	32V	628242	7073578	17.05	982147.975	1.28	2.42	-49.96
4 3700N	63 45.88	11 36.03	32V	628234	7073528	16.87	982148.182	1.28	2.42	-49.96
4 3750N	63 45.85	11 36.01	32V	628225	7073478	16.77	982148.304	1.28	2.42	-49.96
4 3800N	63 45.83	11 35.99	32V	628215	7073428	17.08	982148.2772	1.28	2.42	-49.96
4 3850N	63 45.80	11 35.97	32V	628206	7073380	12.09	982146.705	1.28	2.42	-49.96
4 3900N	63 45.78	11 35.95	32V	628191	7073352	15.14	982148.623	1.28	2.42	-49.96
4 3950N	63 45.76	11 35.93	32V	630993	7074884	14.44	982148.653	1.07	4.45	-49.90
4 4000N	63 45.74	11 35.91	32V	630990	7074935	14.60	982148.507	1.03	4.50	-50.54
4 4050N	63 45.72	11 35.89	32V	630983	7074985	14.64	982146.234	2.81	7.65	-50.54
4 4100N	63 45.70	11 35.87	32V	630972	7075037	24.64	982146.247	2.81	7.65	-50.54
4 4150N	63 45.68	11 35.85	32V	630967	7075088	24.67	982146.645	3.03	8.47	-50.52
4 4200N	63 45.66	11 35.83	32V	630963	7075137	24.67	982146.316	3.11	8.47	-50.52
4 4250N	63 45.64	11 35.81	32V	630960	7075188	24.81	982146.292	2.81	8.30	-50.52
4 4300N	63 45.62	11 35.79	32V	630957	7075236	25.06	982146.186	3.05	8.91	-50.52
4 4350N	63 45.60	11 35.77	32V	630956	7075285	23.91	982146.341	3.16	9.95	-50.52
4 4400N	63 45.58	11 35.75	32V	630952	7075335	25.86	982145.941	3.03	8.61	-50.52
4 4450N	63 45.56	11 35.73	32V	630947	7075385	26.73	982145.645	3.11	9.93	-50.52
4 4500N	63 45.54	11 35.71	32V	630943	7075435	27.45	982145.497	3.05	8.47	-50.52
4 4550N	63 45.52	11 35.69	32V	630942	7075485	27.93	982145.614	3.05	8.30	-50.52
4 4600N	63 45.50	11 35.67	32V	630939	7075335	26.75	982145.775	3.03	9.95	-50.52
4 4650N	63 45.48	11 35.65	32V	630938	7075585	27.44	982145.610	3.11	8.25	-50.52
4 4700N	63 45.46	11 35.63	32V	630937	7075635	29.05	982145.072	3.29	8.46	-50.91
4 4750N	63 45.44	11 35.61	32V	630942	7075685	1.09	982145.09	1.09	8.96	-51.09

Sted : VERDAL

Oppdragssnr. : 2243

Målingene utført i 1987

Beregningene utført i FEB 1992

Stasjon Profil punkt	Bredde-grad	Lengde-grad	UTM-øst	UTM-nord	Høyde (i m)	Observervert tyngde	Bouguer-korr.	Friulufts-korr.	Terreng-korr.	Bouguer-anomali
850N	63 46.98	11 39.42	630943	7075732	41.26	982142.203	4.68	1.00	12.72	-51.70
900N	63 47.01	11 39.42	630944	7075785	52.44	982139.594	5.94	1.04	16.17	-52.13
950N	63 47.04	11 39.42	630944	7075835	64.43	982136.873	7.30	1.06	19.87	-52.52
1000N	63 47.08	11 39.42	630937	7075920	65.38	982137.062	7.41	1.03	20.16	-52.33
1050N	63 47.11	11 39.41	630930	7075969	67.22	982136.914	7.62	1.05	20.73	-52.18
1100N	63 47.13	11 39.41	630928	7076020	67.14	982137.116	7.61	1.06	20.71	-52.13
1150N	63 47.16	11 39.41	630925	7076070	67.24	982137.225	7.62	1.07	20.74	-52.07
1200N	63 47.19	11 39.41	630920	7076122	67.31	982137.286	7.63	1.08	20.76	-51.94
1250N	63 47.22	11 39.41	630918	7076170	70.18	982136.725	7.95	1.09	21.64	-51.85
1300N	63 47.24	11 39.41	630914	7076220	74.22	982135.909	8.41	1.09	22.89	-51.80
1350N	63 47.27	11 39.40	630904	7076267	79.85	982134.940	9.05	1.09	24.63	-51.68
1400N	63 47.30	11 39.39	630895	7076317	85.55	982133.907	9.69	1.06	26.38	-51.53
1450N	63 47.32	11 39.38	630887	7076367	91.54	982132.725	10.37	1.12	28.23	-51.49
150S	63 46.34	11 39.37	630873	7076390	97.32	982131.459	11.03	1.12	30.01	-49.25
150S	63 46.49	11 39.40	631000	7074831	114.51	982148.943	11.64	1.10	30.47	-49.25
150S	63 46.49	11 39.40	631003	7074783	114.08	982149.232	11.60	1.12	4.34	-48.89
150S	63 46.44	11 39.44	631004	7074730	114.21	982149.554	11.61	1.10	4.38	-48.54
150S	63 46.41	11 39.44	631004	7074680	114.31	982149.808	11.62	1.13	4.41	-48.28
150S	63 46.39	11 39.46	631005	7074630	114.59	982149.977	11.65	1.14	4.50	-48.57
150S	63 46.39	11 39.43	631005	7074480	114.51	982151.943	11.64	1.10	4.57	-48.89
150S	63 46.30	11 39.44	631012	7074425	9.84	982152.162	11.60	1.12	3.03	-46.57
150S	63 46.28	11 39.44	631012	7074373	15.34	982151.258	11.61	1.10	4.73	-46.32
150S	63 46.25	11 39.45	631025	7074340	121.76	982150.348	11.66	1.14	4.86	-45.97
150S	63 46.23	11 39.44	631032	7074313	121.38	982150.222	12.42	1.14	4.59	-45.96
150S	63 46.21	11 39.46	631032	7075400	31.88	982144.267	3.61	1.43	50.75	* * * *
150S	63 46.21	11 39.43	631032	7075450	32.52	982144.412	3.68	1.56	9.83	* * * *
150S	63 46.21	11 39.43	631032	7075500	33.85	982144.209	3.72	1.56	10.03	* * * *
150S	63 46.21	11 39.46	631032	7075597	34.58	982143.960	3.84	1.56	10.13	* * * *
150S	63 46.21	11 39.46	631032	7075650	34.99	982143.531	3.92	1.56	10.44	* * * *
150S	63 46.21	11 39.46	631032	7075683	42.25	982142.021	4.79	1.56	10.66	* * * *
150S	63 46.21	11 39.46	631032	7075345	31.49	982144.176	3.57	1.38	50.90	* * * *
150S	63 46.21	11 39.46	631032	7075295	31.45	982144.050	3.57	1.32	9.70	* * * *
150S	63 46.21	11 39.46	631032	7075245	31.49	982143.789	3.57	1.30	9.71	* * * *
150S	63 46.21	11 39.46	631032	7075200	14.38	982147.241	1.62	1.30	4.43	* * * *
150S	63 46.21	11 39.46	631032	7075155	14.27	982146.208	2.84	1.30	6.36	* * * *
150S	63 46.21	11 39.46	631032	7075127	18.08	982146.875	2.39	1.34	5.62	* * * *
150S	63 46.21	11 39.46	631032	7074950	121.08	982146.797	2.39	1.28	6.50	* * * *
150S	63 46.21	11 39.46	631032	7074750	22.44	982149.156	2.54	1.28	6.92	* * * *
150S	63 46.21	11 39.46	631032	7074700	22.44	982149.223	2.63	1.28	7.17	* * * *
150S	63 46.21	11 39.46	631032	7074645	21.14	982149.300	2.58	1.29	7.01	* * * *
150S	63 46.21	11 39.46	631032	7074595	20.61	982148.043	2.34	1.29	6.97	* * * *
150S	63 46.21	11 39.46	631032	7074800	21.11	982148.492	2.39	1.29	6.81	* * * *
150S	63 46.21	11 39.46	631032	7074750	22.08	982148.766	2.50	1.29	6.81	* * * *
150S	63 46.21	11 39.46	631032	7074700	22.44	982149.156	2.54	1.28	7.11	* * * *
150S	63 46.21	11 39.46	631032	7074645	21.14	982149.300	2.58	1.29	7.13	* * * *
150S	63 46.21	11 39.46	631032	7074498	23.04	982149.561	2.62	1.28	7.15	* * * *
150S	63 46.21	11 39.46	631032	7074445	23.13	982149.650	2.62	1.28	7.16	* * * *
150S	63 46.21	11 39.46	631032	7074345	23.21	982149.454	2.63	1.28	7.16	* * * *

Oppdragsnr. : 2243 Målingene utført i 1986/87 Beregningene utført i FEB 1992

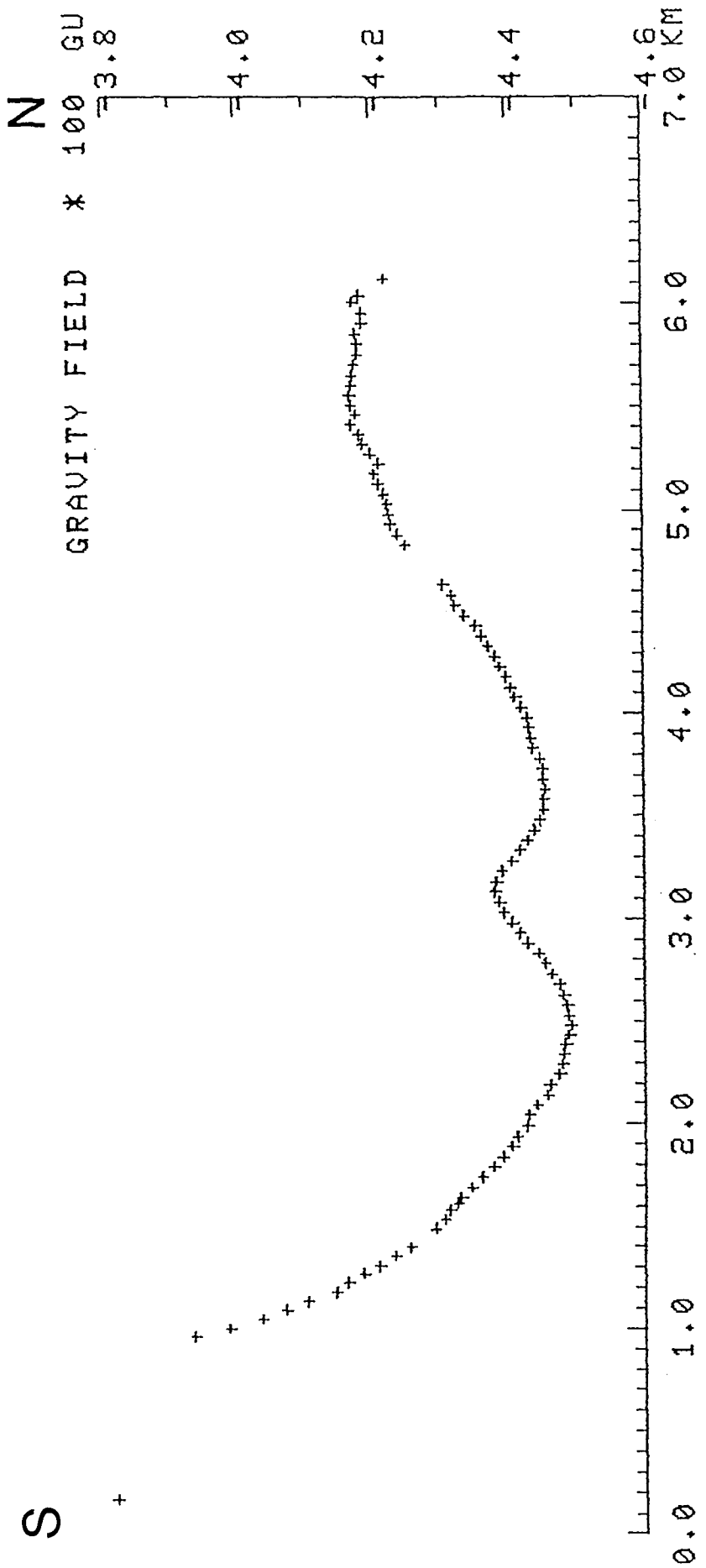
Sted : VERDAL

Stasjon Profil punkt	Bredde- grad	Lengde- grad	UTM- sone	UTM- øst	UTM- nord	Høyde (i m)	Observerd tyngde	Bouguer korr.	Friulufts- korr.	Bouguer- anomal
6 990S	63 46.16	11 42.47	32V	633517	7074310	24.34	982148.979	2.76	2.99	-45.26
6 1010S	63 46.14	11 42.49	32V	633535	7074288	37.45	982146.431	4.24	2.79	-45.42
1	63 48.81	11 25.22	32V	619153	7078672	5.53	982164.829	-6.3	1.7	-38.97
2	63 49.10	11 25.54	32V	619396	7079210	57.81	982153.160	6.55	-17.83	-40.30
3	63 49.03	11 26.75	32V	620392	7079117	30.59	982156.891	3.47	1.94	-42.21
4	63 48.68	11 27.74	32V	621232	7078502	74.49	982146.447	8.44	-42.97	-42.63
5	63 49.55	11 28.46	32V	621759	7080135	94.50	982139.971	10.71	1.27	-29.14
6	63 49.58	11 29.27	32V	622420	7080225	60.63	982145.417	7.32	1.85	-46.35
7	63 46.34	11 30.08	32V	623325	7074242	64.00	982147.231	5.67	15.42	-43.43
8	63 46.29	11 30.85	32V	623960	7074167	50.00	982125.341	18.69	1.08	-44.55
9	63 45.32	11 30.46	32V	623710	7072350	165.00	982132.970	15.29	41.63	-42.34
10	63 45.37	11 28.90	32V	622422	7072397	135.00	982161.233	1.91	40.80	-40.80
11	63 45.81	11 26.56	32V	620474	7073147	15.90	982161.233	15.29	2.78	-38.12
12	63 45.60	11 25.65	32V	619739	7072715	50.00	982153.075	5.67	1.78	-37.98
13	63 45.31	11 24.16	32V	618530	7072129	74.71	982149.822	8.46	23.04	-36.12
14	63 46.22	11 24.20	32V	618502	7073824	74.00	982150.770	8.38	2.82	-36.06
15	63 46.30	11 28.61	32V	622114	7074114	15.00	982150.770	1.70	4.63	-41.39
16	63 48.73	11 30.84	32V	620377	7078687	45.00	982147.547	5.10	9.99	-47.74
17	63 45.04	11 32.69	32V	625560	7071960	331.77	982089.100	37.56	4.00	-42.77
18	63 45.25	11 32.72	32V	625575	7072300	249.50	982107.338	28.25	1.78	-43.07
19	63 45.64	11 34.12	32V	627512	7073101	76.00	982137.090	8.61	1.93	-47.50
20	63 45.48	11 34.52	32V	627036	7072776	132.50	982127.109	15.01	1.62	-46.57
21	63 49.55	11 31.84	32V	624100	7079853	110.00	982133.428	12.46	1.28	-49.62
22	63 49.50	11 31.89	32V	624575	7080166	165.00	982121.330	18.69	50.89	-50.95
23	63 48.81	11 33.07	32V	625594	7078911	141.50	982125.684	16.03	1.22	-50.63
24	63 48.71	11 32.88	32V	625443	7078725	139.00	982126.633	17.75	1.05	-47.58
25	63 49.17	11 32.61	32V	625190	7079575	140.00	982136.967	1.07	43.18	-51.25
26	63 49.33	11 33.93	32V	626263	7079915	68.70	982136.895	7.78	1.25	-54.41
27	63 49.50	11 31.89	32V	624637	7079659	69.10	982136.153	7.83	1.72	-54.26
28	63 48.73	11 34.32	32V	626625	7078810	68.90	982138.500	7.81	6.60	-52.51
29	63 48.72	11 34.95	32V	627148	7078806	102.92	982130.287	11.66	3.74	-53.83
30	63 48.81	11 36.65	32V	628534	7079032	69.50	982134.144	2.85	2.39	-51.43
31	63 48.80	11 35.64	32V	627706	7078982	68.70	982135.054	7.78	2.19	-55.43
32	63 47.91	11 37.03	32V	628915	7077385	100.00	982130.054	11.33	1.02	-54.49
33	63 47.79	11 37.95	32V	629677	7077090	144.00	982121.506	16.31	4.41	-52.91
34	63 47.82	11 39.84	32V	631222	7077302	167.50	982115.629	12.12	5.66	-53.53
35	63 47.02	11 41.92	32V	632992	7075897	129.50	982126.235	14.67	1.43	-50.07
36	63 45.95	11 42.68	32V	633700	7073931	178.00	982119.792	20.16	2.24	-44.95
37	63 45.90	11 41.03	32V	632354	7073785	175.50	982119.205	14.16	1.33	-46.17
38	63 45.72	11 39.55	32V	63145	7073406	125.00	982129.285	3.55	3.55	-46.44

**Gravimetridata fra Verdal innsamlet 1986 og 1987**

Observerd tyngde er beregnet i IGSN71-systemet.

Standard-densitet 2670 kg/m<sup>3</sup> er benyttet i Bouguer- og terengkorreksjonene.



### Profil 1 - Bougueranomalier langs utplukksprofil

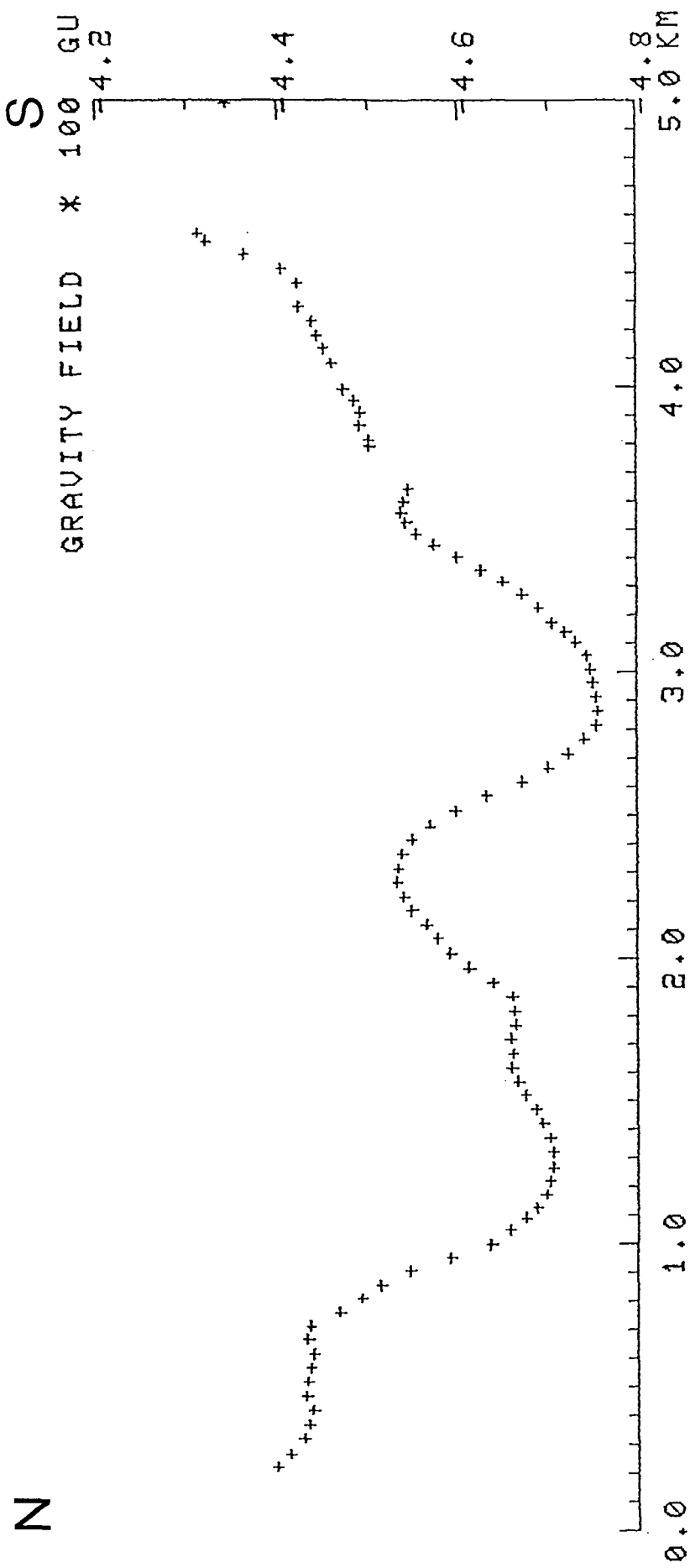
Startkoordinat for profil : UTM-øst = 620300 , UTM-nord = 7073000

Sluttkoordinat for profil : UTM-øst = 620440 , UTM-nord = 7079200

Søkebredd i profil : 900 m

Regionalanomali som skyldes berggrunnen er regnet  
å variere lineært langs profilet med valgt nivå :

- 38.1 mGal i første utplukkspunkt i profilet og
- 41.7 mGal i siste utplukkspunkt i profilet.
- 100 gu (gravity units) = 10 mGal (milliGal)



### Profil 2 - Bougueranomalier langs utplukksprofil

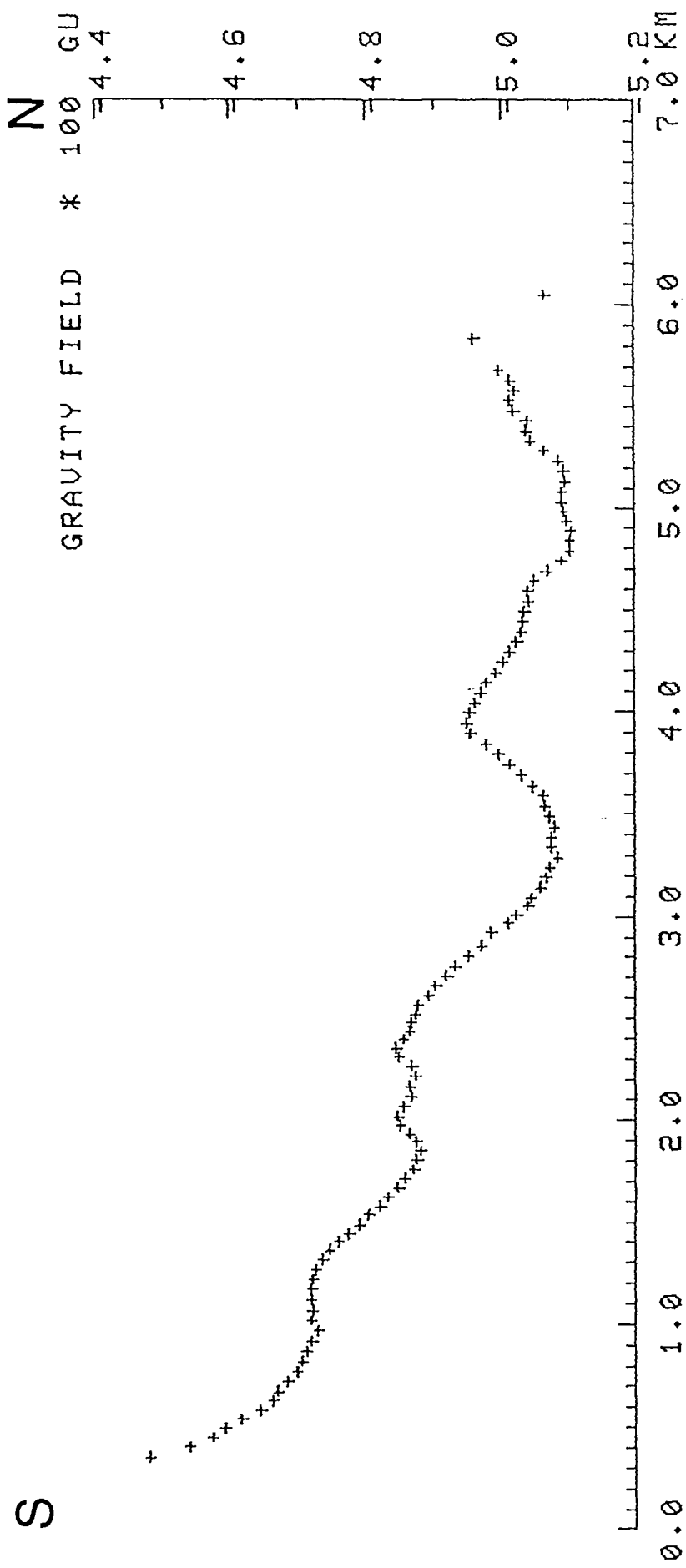
Startkoordinat for profil : UTM-øst = 621800 , UTM-nord = 7079000

Sluttkoordinat for profil : UTM-øst = 623130 , UTM-nord = 7074000

Søkebredde i profil : 600 m

Regionalanomali som skyldes berggrunnen er regnet  
å variere lineært langs profilet med valgt nivå :

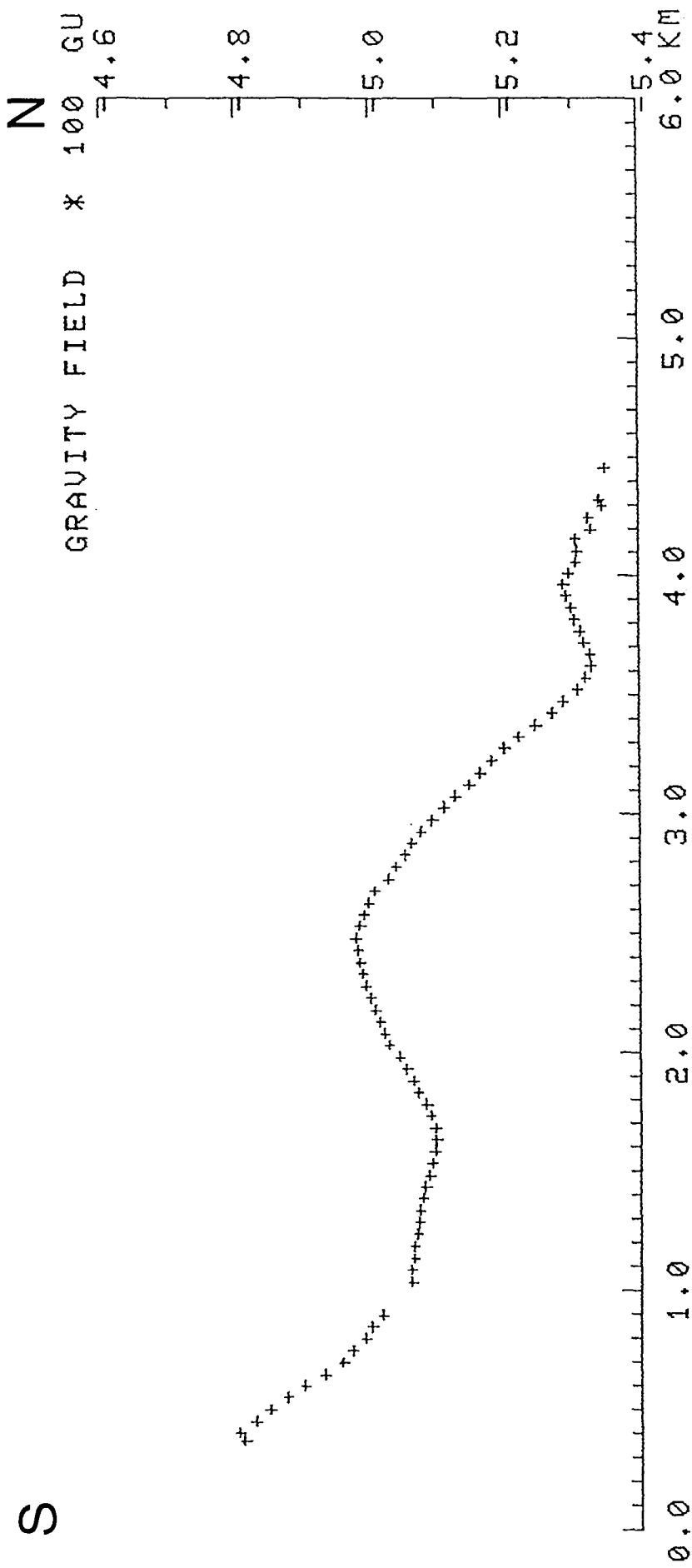
- 43.9 mGal i første utplukkspunkt i profilet og
  - 43.1 mGal i siste utplukkspunkt i profilet.
- 100 gu (gravity units) = 10 mGal (milliGal)



### Profil 3 - Bougueranomalier langs utplukksprofil

Startkoordinat for profil : UTM-øst = 624320 , UTM-nord = 7073000  
 Sluttkoordinat for profil : UTM-øst = 625570 , UTM-nord = 7079000  
 Søkebredde i profil : 600 m

Regionalanomali som skyldes bergrunnen er regnet  
 å variere lineært langs profilet med valgt nivå :  
 - 44.6 mGal i første utplukkspunkt i profilet og  
 - 50.1 mGal i siste utplukkspunkt i profilet.  
 100 gu (gravity units) = 10 mGal (milliGal)



#### Profil 4 - Bougueranomalier langs utplukksprofil

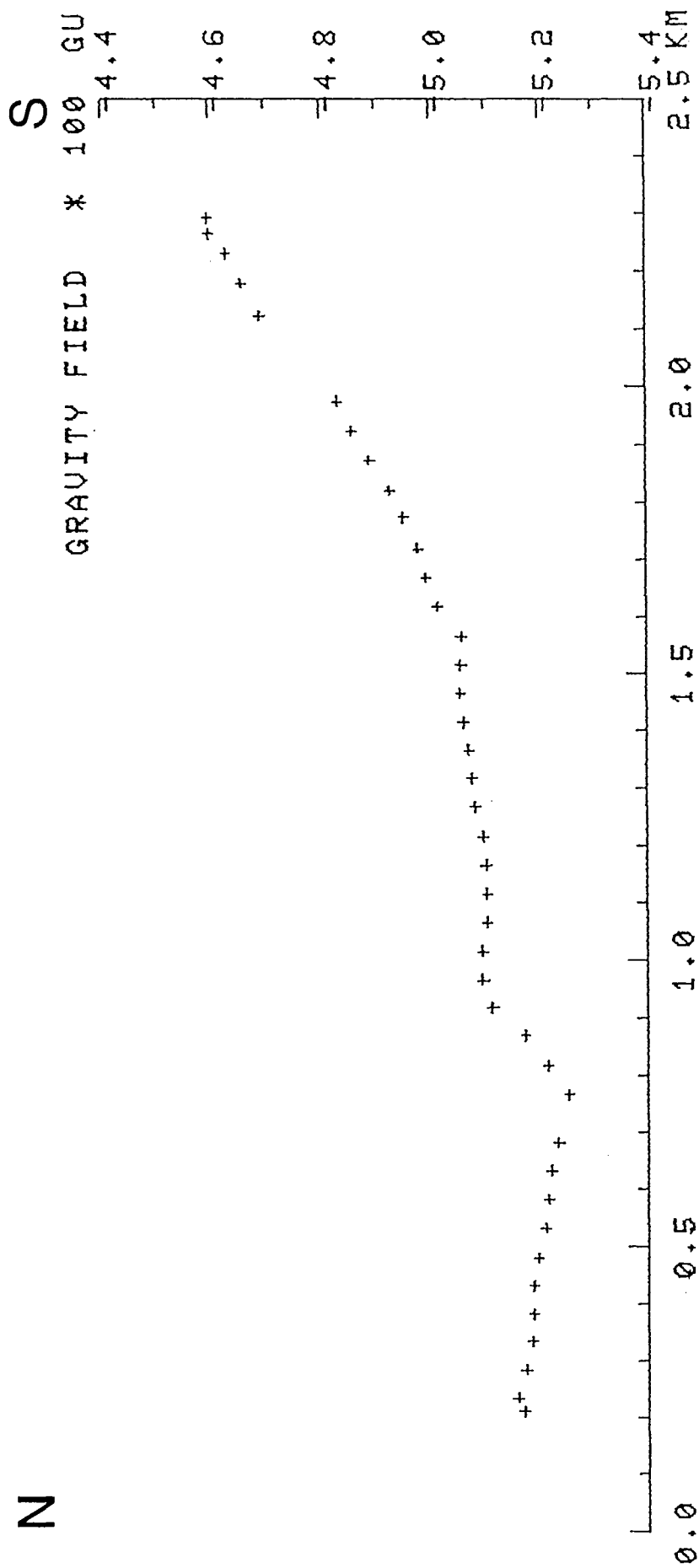
Startkoordinat for profil : UTM-øst = 628120 , UTM-nord = 7073000

Sluttkoordinat for profil : UTM-øst = 629160 , UTM-nord = 7078000

Søkebredd i profil : 500 m

Regionalanomali som skyldes berggrunnen er (foreløpig) regnet  
å variere lineært langs profilet med valgt nivå :

- 47.8 mGal i første utplukkspunkt i profilet og
- 50.5 mGal i siste utplukkspunkt i profilet.
- 100 gu (gravity units) = 10 mGal (milliGal)



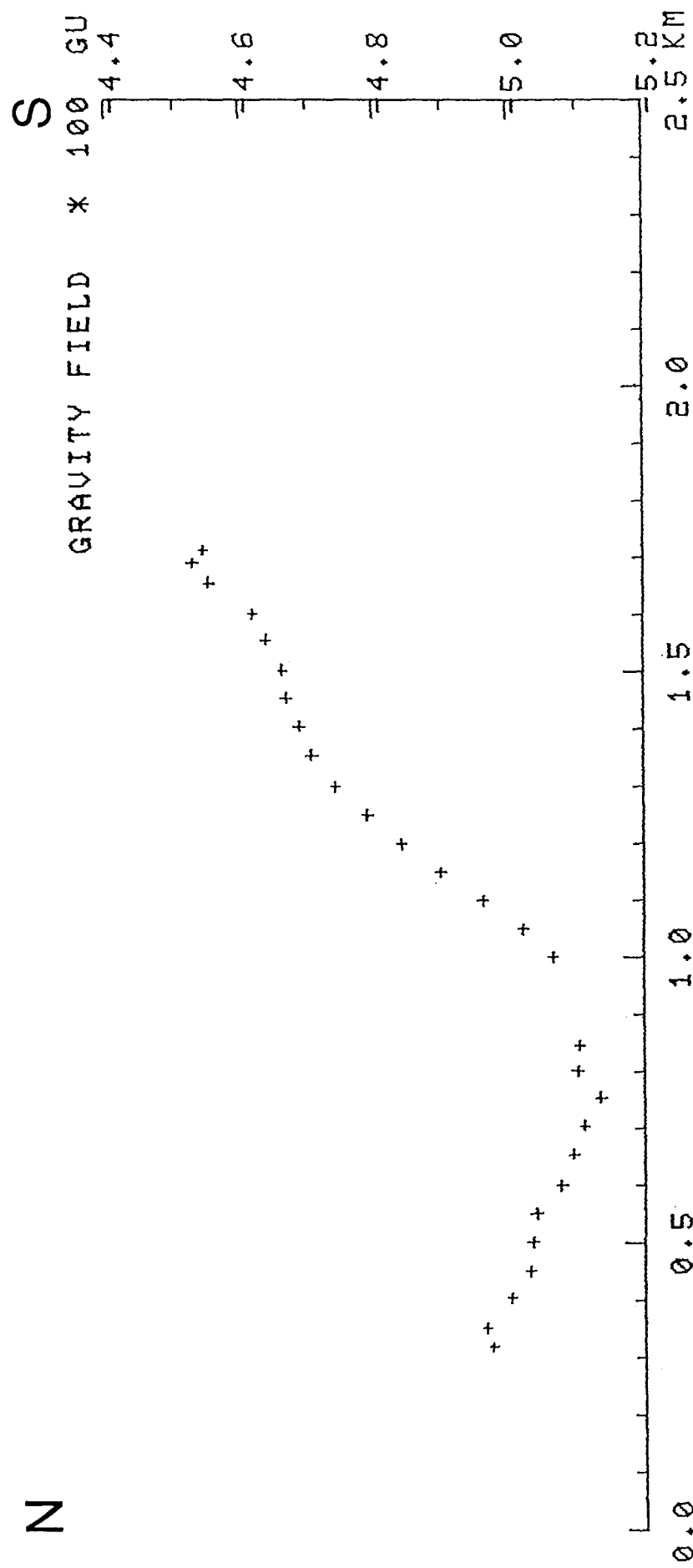
Profil 5 - Bougueranomalier langs utplukksprofil

Startkoordinat for profil : UTM-øst = 630890 , UTM-nord = 7076600

Sluttkoordinat for profil : UTM-øst = 631040 , UTM-nord = 7074000

Søkebredd i profil : 200 m

Regionalanomali som skyldes berggrunden er regnet  
å variere lineært langs profilet med valgt nivå :  
- 51.5 mGal i første utplukkspunkt i profilet og  
- 45.8 mGal i siste utplukkspunkt i profilet.  
100 gu (gravity units) = 10 mGal (milliGal)



### Profil 6 - Bougueranomali langs utplukksprofil

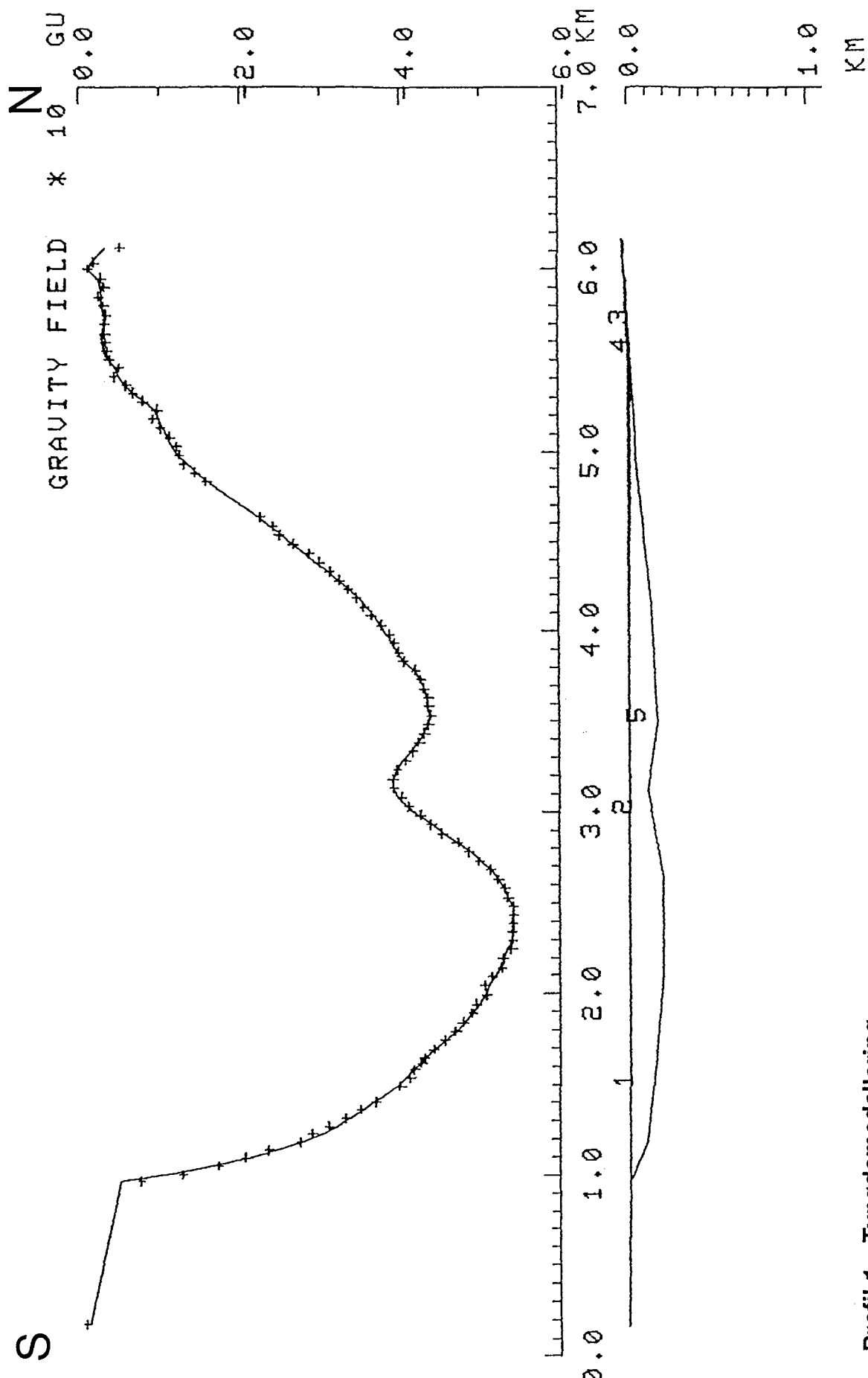
Startkoordinat for profil : UTM-øst = 633510 , UTM-nord = 7076000

Sluttkoordinat for profil : UTM-øst = 633540 , UTM-nord = 7073900

Søkebredd i profil : 400 m

Regionalanomali som skyldes berggrunnen er regnet  
å variere lineært langs profilet med valgt nivå :

- 49.6 mGal i første utplukkspunkt i profilet og
  - 44.0 mGal i siste utplukkspunkt i profilet.
- 100 gu (gravity units) = 10 mGal (milliGal)



### Profil 1 - Tyngdemodellering

Modellanomali (heltrukket) sammenholdt med residualanomaliene.  
 Residualanomali = Bougueranomali - Regionalanomali (fra databilag 2).  
 10 gu (gravity units) = 1 mGal (milliGal)

**Profil 1 - Modelldata****Densitetsverdier:**

Løsmasser kropp 1 - 3 : 1700 kg/m<sup>3</sup>  
 Løsmasser kropp 4 - 5 : 2000 kg/m<sup>3</sup>  
 Berggrunn (omgivelser) : 2750 kg/m<sup>3</sup>

**Geometriske data for kroppene:**

Lengdeavgrensing: Ymin og Ymax. Angitt i meter fra tolkningsprofil.

Hjørnekoordinater (X,Z) i polygonformet tverrsnitt:

X = Horisontalakse i tolkningsprofil. Angitt i meter.

Z = Vertikalakse i tolkningsprofil, positiv retning nedover.

Angitt i m u.h. (meter under havnivå).

**Kropp 1**

Ymin = -500 , Ymax = 1000

Hjørne	X	Z
1	946	-1.4
2	948	0.0
3	2000	0.0
4	2060	-1.0
5	1956	-2.5
6	1770	-2.5
7	1680	-0.9
8	1560	-0.7
9	1520	-1.4
10	1295	-1.6
11	1280	-1.4
12	1195	-1.8
13	1045	-1.8

**Kropp 2**

Ymin = -200 , Ymax = 2000

Hjørne	X	Z
1	2144	-2.4
2	2000	0.0
3	3900	0.0
4	3808	-0.5
5	3800	-2.4
6	3690	-3.2
7	3564	-2.8
8	3540	-3.8
9	3300	-3.4
10	3140	-3.5
11	3080	-3.7
12	2520	-3.6
13	2495	-4.2
14	2388	-3.5
15	2320	-3.9
16	2184	-2.0

**Kropp 3**

Ymin = -500 , Ymax = 700

Hjørne	X	Z
1	5190	-0.9
2	5060	0.0
3	5600	-2.8
4	5980	-19.0
5	6020	-24.0
6	6158	-25.0
7	6160	-30.6
8	6100	-30.6
9	6040	-26.8
10	5975	-20.0
11	5720	-13.0
12	5620	-5.7
13	5526	-3.4
14	5452	-3.9
15	5368	-1.7
16	5215	-2.3

**Kropp 4**

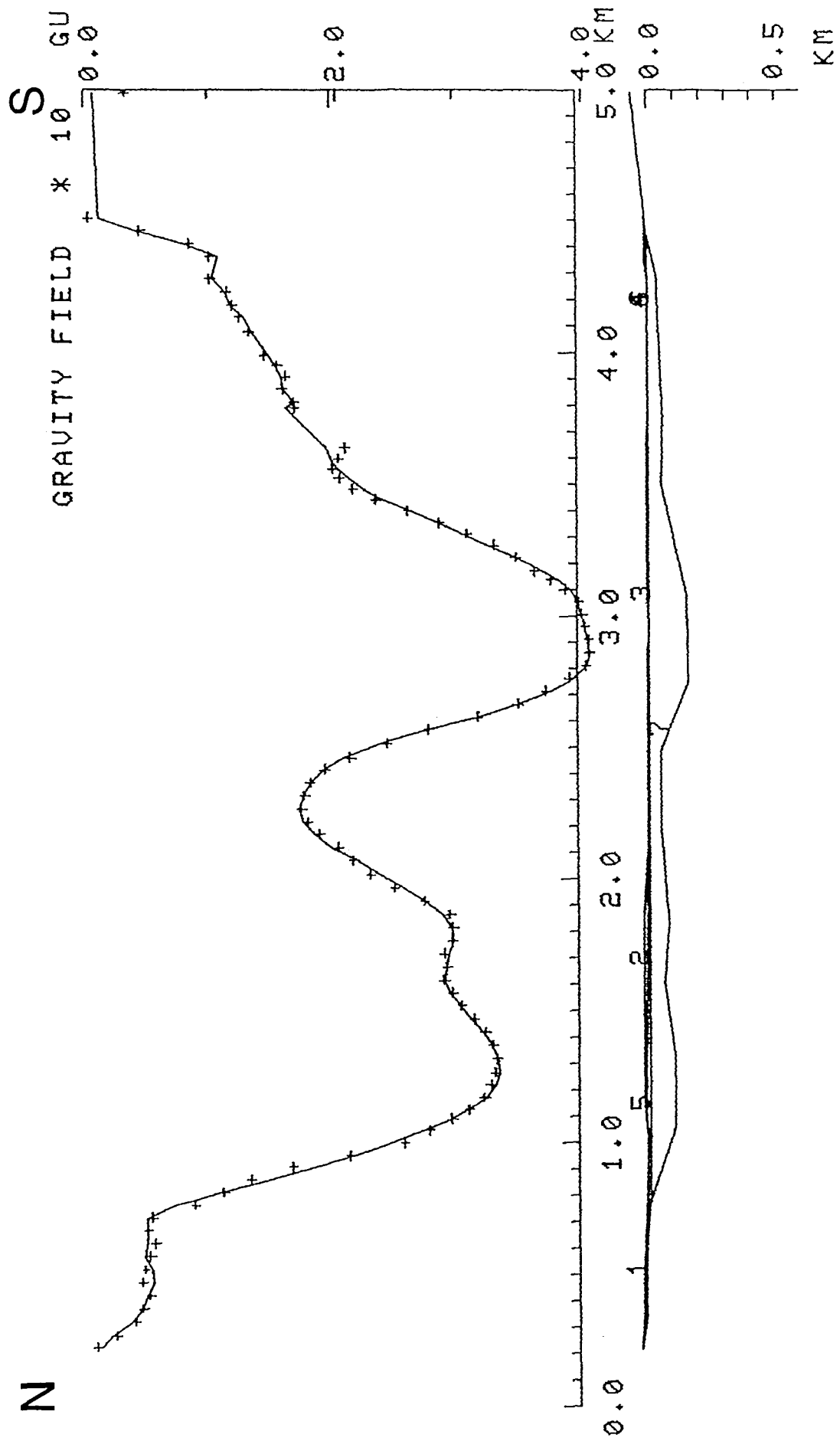
Ymin = -500 , Ymax = 700

Hjørne	X	Z
1	5060	0.0
2	4820	1.3
3	5590	1.3
4	5780	-10.0
5	5940	-13.0
6	5980	-19.0
7	5600	-2.8

**Profil 1 - Modelldata (forts.)****Kropp 5**

Ymin = -4000 , Ymax = 4000

Hjørne	X	Z
1	948	0.0
2	1170	90.0
3	1500	130.0
4	2100	180.0
5	2640	185.0
6	3120	96.0
7	3490	150.0
8	4130	120.0
9	4950	35.0
10	5200	27.0
11	5400	9.0
12	5590	1.3
13	4820	1.3
14	3900	0.0



### Profil 2 - Tyngdemodellering

Modellanomali (heltrukket) sammenholdt med residualanomaliene.  
 Residualanomali = Bougueranomali - Regionalanomali (fra databilag 2).  
 10 gu (gravity units) = 1 mGal (milliGal)

**Profil 2 - Modelldata****Densitetsverdier:**

Løsmasser kropp 1 - 4 : 1700 kg/m<sup>3</sup>  
Løsmasser kropp 5 - 7 : 2000 kg/m<sup>3</sup>  
Berggrunn (omgivelser) : 2750 kg/m<sup>3</sup>

**Geometriske data for kroppene:**

Lengdeavgrensing: Ymin og Ymax. Angitt i meter fra tolkningsprofil.

Hjørnekoordinater (X, Z) i polygonformet tverrsnitt:

X = Horisontalakse i tolkningsprofil. Angitt i meter.

Z = Vertikalakse i tolkningsprofil, positiv retning nedover.  
Angitt i m u.h. (meter under havnivå).

**Kropp 1**

Ymin = -300 , Ymax = 300

Hjørne	X	Z
1	368	-30.2
2	620	-23.0
3	498	-30.0

**Kropp 2**

Ymin = -800 , Ymax = 400

Hjørne	X	Z
1	1144	-22.0
2	1026	-14.0
3	1120	-17.5
4	2460	-2.0
5	2244	-6.4
6	2128	-9.5
7	1872	-22.8
8	1780	-25.0
9	1272	-24.5

**Kropp 3**

Ymin = -1000 , Ymax = 400

Hjørne	X	Z
1	2480	-6.9
2	2244	-6.4
3	2460	-2.0
4	3460	-2.0
5	3690	0.4
6	3648	-4.8
7	3595	-4.8
8	3530	-5.6
9	3330	-4.8
10	3175	-5.1
11	3110	-5.7
12	2980	-3.2
13	2908	-3.6
14	2815	-6.5
15	2540	-6.4

**Kropp 4**

Ymin = -1000 , Ymax = 1000

Hjørne	X	Z
1	3808	-1.5
2	3795	0.4
3	3900	-0.8
4	4300	-0.8
5	4460	-5.0
6	4500	-13.0
7	4465	-10.7
8	4415	-11.6
9	4345	-11.6
10	4295	-1.7
11	4215	-2.3
12	4168	-1.3
13	4140	-2.4
14	3900	-2.6
15	3875	-1.2

**Profil 2 - Modelldata (forts.)****Kropp 5**

Ymin = -2000 , Ymax = 2000

Hjørne	X	Z
1	220	-37.0
2	340	-20.0
3	580	-16.0
4	760	-5.0
5	780	0.4
6	3690	0.4
7	3460	-2.0
8	2460	-2.0
9	1120	-17.5
10	1026	-14.0
11	902	-14.0
12	745	-16.8
13	705	-16.4
14	620	-23.0
15	368	-30.2
16	246	-35.0

**Kropp 6**

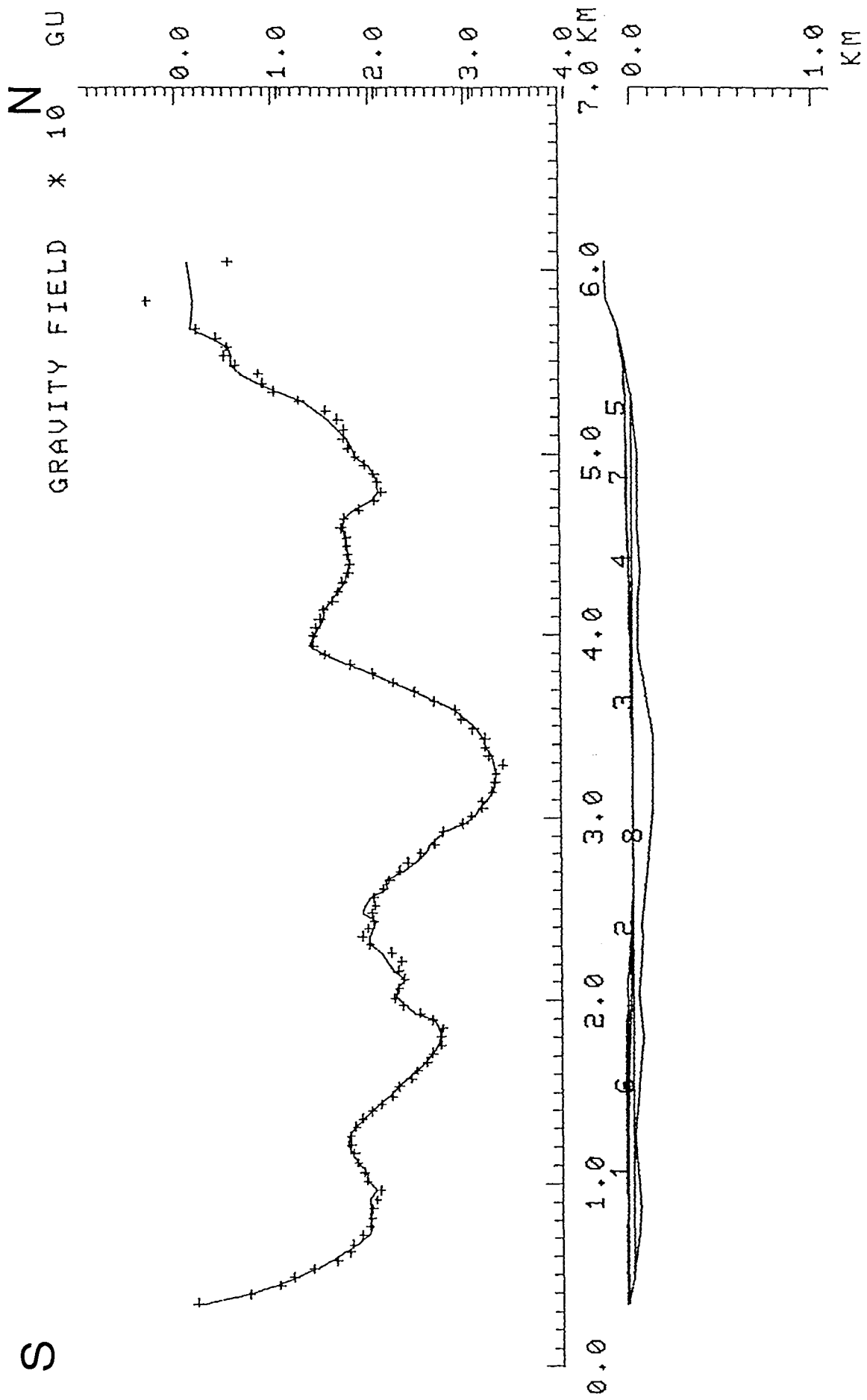
Ymin = -2000 , Ymax = 2000

Hjørne	X	Z
1	3900	-0.8
2	3795	0.4
3	4440	0.4
4	4460	-5.0
5	4300	-0.8

**Kropp 7**

Ymin = -4000 , Ymax = 4000

Hjørne	X	Z
1	780	0.4
2	1060	93.0
3	1330	90.0
4	1610	55.0
5	1830	72.0
6	2200	40.0
7	2490	40.0
8	2750	150.0
9	3080	145.0
10	3500	50.0
11	3750	53.0
12	4300	30.0
13	4440	0.4



### Profil 3 - Tyngdemodellering

Modellanomali (heltrukket) sammenholdt med residualanomaliene.  
 Residualanomali = Bougueranomali - Regionalanomali (fra databilag 2).  
 10 gu (gravity units) = 1 mGal (milliGal)

**Profil 3 - Modelldata****Densitetsverdier:**

Løsmasser kropp 1 - 5 : 1700 kg/m<sup>3</sup>  
 Løsmasser kropp 6 - 8 : 2000 kg/m<sup>3</sup>  
 Berggrunn (omgivelser) : 2750 kg/m<sup>3</sup>

**Geometriske data for kroppene:**

Lengdeavgrensing: Ymin og Ymax. Angitt i meter fra tolkningsprofil.

Hjørnekoordinater (X, Z) i polygonformet tverrsnitt:

X = Horisontalakse i tolkningsprofil. Angitt i meter.

Z = Vertikalakse i tolkningsprofil, positiv retning nedover.

Angitt i m u.h. (meter under havnivå).

**Kropp 1**

Ymin = -500 , Ymax = 600

Hjørne	X	Z
1	334	-42.9
2	340	-37.0
3	1200	-33.0
4	1935	-34.0
5	1885	-38.7
6	1700	-38.7
7	1280	-40.0
8	1240	-39.3
9	1040	-39.2
10	1010	-37.8
11	948	-39.0
12	920	-35.7
13	815	-35.4
14	728	-39.1
15	620	-39.1
16	480	-40.3

**Kropp 2**

Ymin = -1000 , Ymax = 1000

Hjørne	X	Z
1	1200	-33.0
2	2600	-1.5
3	2853	-0.1
4	2812	-2.0
5	2696	-3.1
6	2646	-1.6
7	2616	-5.3
8	2556	-4.4
9	2475	-8.0
10	2428	-13.9
11	2314	-13.5
12	2284	-18.0
13	2164	-27.0
14	2120	-32.0
15	2043	-31.5
16	1935	-34.0

**Kropp 3**

Ymin = -2000 , Ymax = 2000

Hjørne	X	Z
1	2948	-3.0
2	2920	-0.1
3	3780	-5.0
4	4120	-14.0
5	4152	-16.8
6	4096	-16.5
7	4012	-13.8
8	3938	-9.5
9	3840	-8.2
10	3720	-8.7
11	3568	-8.4
12	3394	-4.7
13	3260	-5.6
14	3128	-5.2
15	3080	-3.6

**Kropp 4**

Ymin = -2000 , Ymax = 2000

Hjørne	X	Z
1	4152	-16.8
2	4120	-14.0
3	4320	-16.0
4	4660	-26.7
5	4584	-24.6
6	4552	-24.6
7	4438	-20.4
8	4338	-17.7
9	4195	-17.9

**Profil 3 - Modelldata (forts.)****Kropp 5**

Ymin = -2000 , Ymax = 2000

Hjørne	X	Z
1	4758	-36.3
2	4660	-26.7
3	4740	-30.0
4	5310	-35.0
5	5500	-44.4
6	5640	-64.0
7	5668	-70.0
8	5592	-62.6
9	5488	-44.7
10	5340	-36.9
11	5172	-35.8
12	4972	-32.2
13	4918	-35.9

**Kropp 6**

Ymin = -2000 , Ymax = 2000

Hjørne	X	Z
1	340	-37.0
2	500	-0.1
3	1500	-0.1
4	2853	-0.1
5	2600	-1.5
6	1200	-33.0

**Kropp 7**

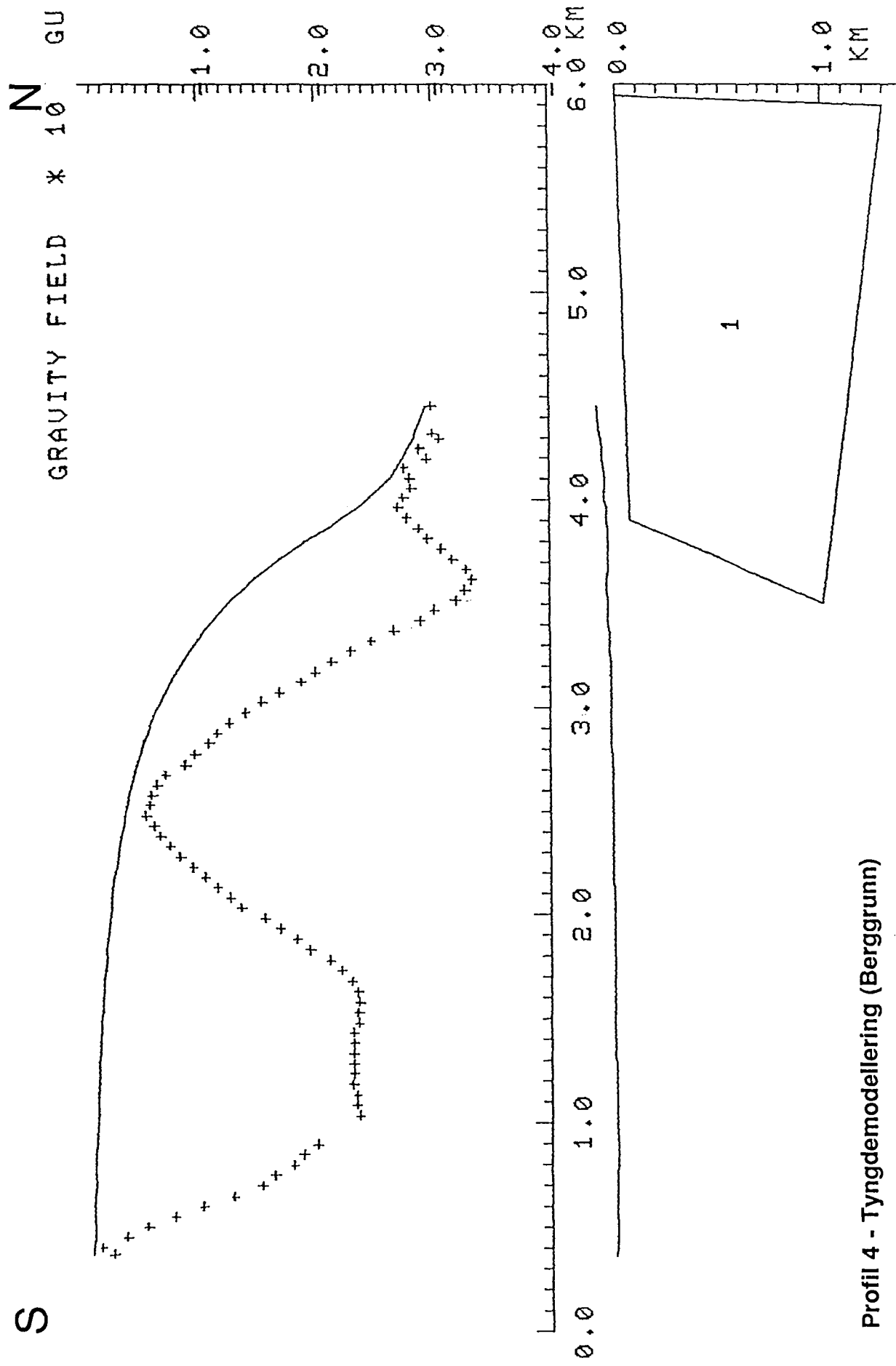
Ymin = -3000 , Ymax = 3000

Hjørne	X	Z
1	2920	-0.1
2	5320	-0.1
3	5390	-20.0
4	5500	-32.0
5	5580	-50.0
6	5640	-64.0
7	5500	-44.4
8	5310	-35.0
9	4740	-30.0
10	4660	-26.7
11	4320	-16.0
12	4120	-14.0
13	3780	-5.0

**Kropp 8**

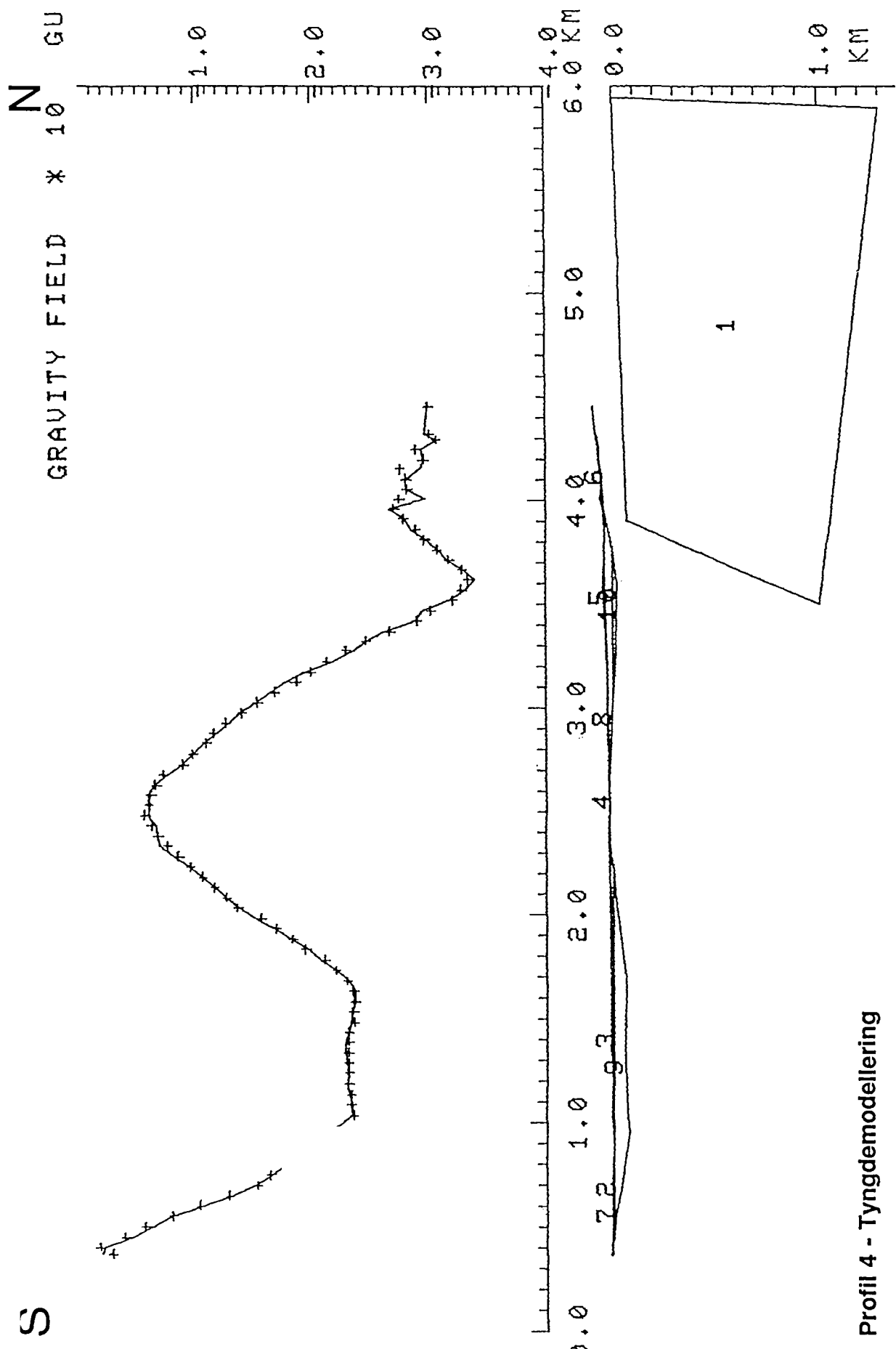
Ymin = -4000 , Ymax = 4000

Hjørne	X	Z
1	500	-0.1
2	750	30.0
3	870	33.0
4	1250	5.0
5	1800	50.0
6	2020	25.0
7	2350	50.0
8	2400	40.0
9	3050	107.0
10	3450	109.0
11	3930	25.0
12	4200	27.0
13	4350	43.0
14	4570	27.0
15	5000	30.0
16	5320	-0.1



**Profil 4 - Tyngdemodellering (Berggrunn)**

Modellanomali (heltrukkt) sammenholdt med residualanomaliene.  
Residualanomali = Bougueranomali - Regionalanomali (fra databilag 2).  
10 gu (gravity units) = 1 mGal (milliGal)



#### Profil 4 - Tyngdemodellering

Modellanomali (heltrekket) sammenholdt med residualanomaliene.  
 Residualanomali = Bougueranomali - Regionalanomali (fra databilag 2).  
 10 gu (gravity units) = 1 mGal (milliGal)

**Profil 4 - Modelldata****Densitetsverdier:**

Løsmasser kropp 2 - 6 : 1700 kg/m<sup>3</sup>  
 Løsmasser kropp 7 -10 : 2000 kg/m<sup>3</sup>  
 Berggrunn kropp 1 : 2670 kg/m<sup>3</sup>  
 Berggrunn (omgivelser) : 2750 kg/m<sup>3</sup>

**Geometriske data for kroppene:**

Lengdeavgrensing: Ymin og Ymax. Angitt i meter fra tolkningsprofil.

Hjørnekoordinater (X, Z) i polygonformet tverrsnitt:

X = Horisontalakse i tolkningsprofil. Angitt i meter.  
 Z = Vertikalakse i tolkningsprofil, positiv retning nedover.  
 Angitt i m u.h. (meter under havnivå).

**Kropp 1**

Ymin = -5000 , Ymax = 5000

Hjørne	X	Z
1	3900	60.0
2	3500	1000.0
3	5900	1300.0
4	5950	0.0

**Kropp 2**

Ymin = -2000 , Ymax = 2000

Hjørne	X	Z
1	368	-17.4
2	400	-16.4
3	640	-13.0
4	860	-7.0
5	980	-7.0
6	858	-8.2
7	706	-15.3
8	624	-17.2
9	420	-16.6

**Kropp 3**

Ymin = -2000 , Ymax = 2000

Hjørne	X	Z
1	1004	-13.4
2	980	-7.0
3	1400	-17.0
4	1788	-20.4
5	1612	-21.5
6	1544	-20.5
7	1500	-20.4
8	1248	-18.4
9	1200	-16.5

**Kropp 4**

Ymin = -2000 , Ymax = 2000

Hjørne	X	Z
1	1820	-21.6
2	1788	-20.4
3	3180	-35.0
4	3188	-36.2
5	3085	-34.9
6	2872	-32.9
7	2722	-31.9
8	2640	-30.4
9	2516	-29.6
10	2468	-28.4
11	2440	-29.6
12	2274	-28.2
13	2248	-26.4
14	2000	-24.2

**Profil 4 - Modelldata (forts.)****Kropp 5**

Ymin = -2000 , Ymax = 2000

Hjørne	X	Z
1	3240	-40.2
2	3188	-36.2
3	3180	-35.0
4	3600	-46.0
5	3856	-49.0
6	3846	-49.4
7	3712	-49.4
8	3625	-54.2
9	3512	-50.7
10	3488	-46.6
11	3416	-47.6
12	3360	-42.0

**Kropp 6**

Ymin = -2000 , Ymax = 2000

Hjørne	X	Z
1	3846	-49.4
2	3856	-49.0
3	4020	-59.0
4	4115	-60.0
5	4210	-76.0
6	4312	-80.0
7	4320	-86.7
8	4268	-80.0
9	4190	-76.6
10	4103	-62.0
11	4048	-62.4
12	4012	-66.6
13	3972	-58.0
14	3920	-55.4

**Kropp 7**

Ymin = -3000 , Ymax = 3000

Hjørne	X	Z
1	368	-17.4
2	420	-15.5
3	440	-7.0
4	860	-7.0
5	640	-13.0
6	400	-16.4

**Kropp 8**

Ymin = -3000 , Ymax = 3000

Hjørne	X	Z
1	1400	-17.0
2	980	-7.0
3	2220	-7.0
4	2300	-20.0
5	2600	-27.0
6	3070	-7.0
7	3760	-7.0
8	3960	-53.0
9	4115	-60.0
10	4020	-59.0
11	3856	-49.0
12	3600	-46.0
13	3180	-35.0
14	1788	-20.4

**Kropp 9**

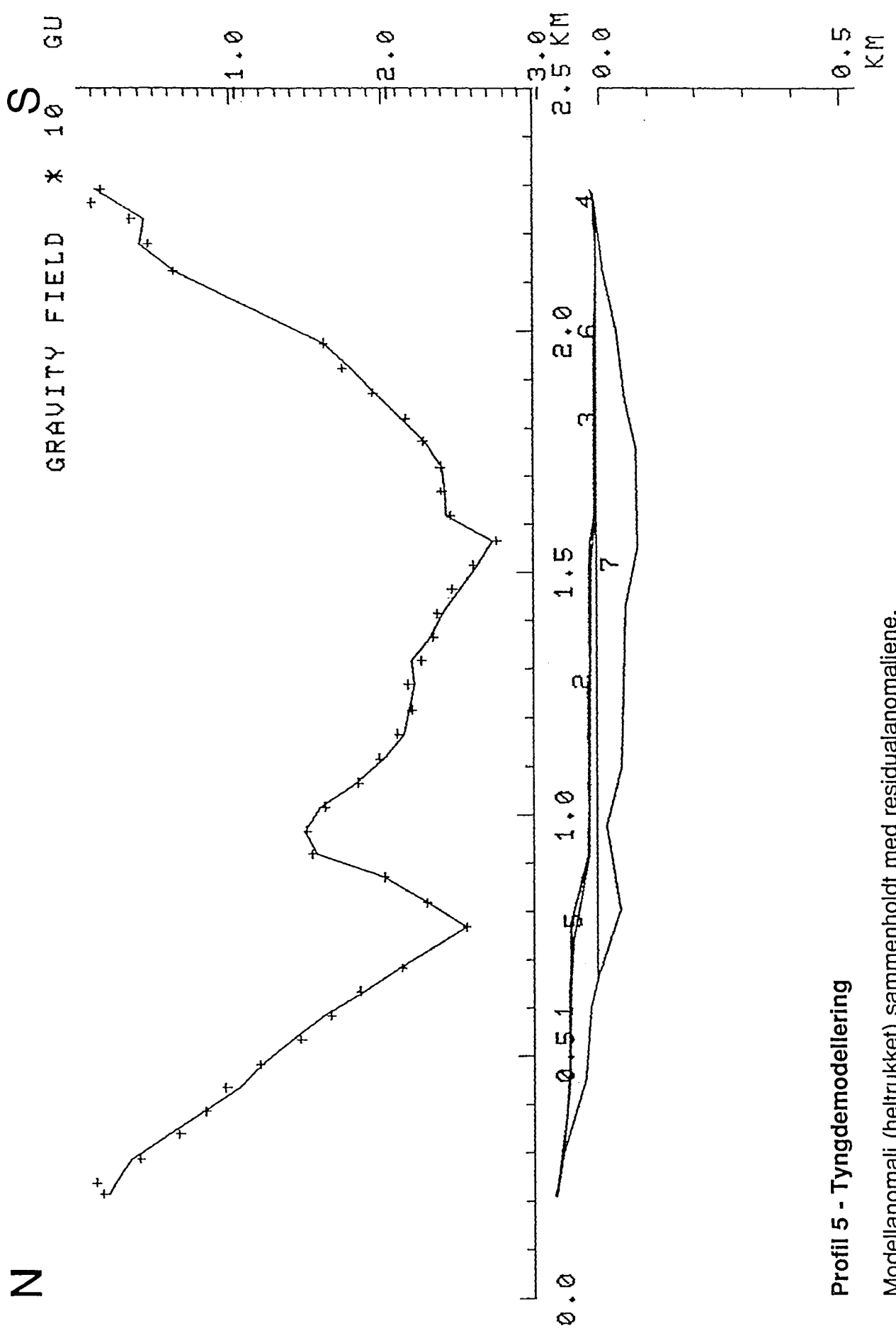
Ymin = -4000 , Ymax = 4000

Hjørne	X	Z
1	440	-7.0
2	550	0.0
3	710	30.0
4	950	65.0
5	1300	47.0
6	1700	53.0
7	2000	10.0
8	2220	-7.0

**Kropp 10**

Ymin = -4000 , Ymax = 4000

Hjørne	X	Z
1	3070	-7.0
2	3250	5.0
3	3600	13.0
4	3760	-7.0



### Profil 5 - Tyngdemodellering

Modellanomali (heltrukket) sammenholdt med residualanomaliene.  
 Residualanomali = Bougueranomali - Regionalanomali (fra databilag 2).  
 10 gu (gravity units) = 1 mGal (milliGal)

**Profil 5 - Modelldata****Densitetsverdier:**

Løsmasser kropp 1 - 4 : 1700 kg/m<sup>3</sup>  
 Løsmasser kropp 5 - 7 : 2000 kg/m<sup>3</sup>  
 Berggrunn (omgivelser) : 2750 kg/m<sup>3</sup>

**Geometriske data for kroppene:**

Lengdeavgrensing: Ymin og Ymax. Angitt i meter fra tolkningsprofil.

Hjørnekoordinater (X, Z) i polygonformet tverrsnitt:

X = Horisontalakse i tolkningsprofil. Angitt i meter.

Z = Vertikalakse i tolkningsprofil, positiv retning nedover.  
 Angitt i m u.h. (meter under havnivå).

**Kropp 1**

Ymin = -400 , Ymax = 400

Hjørne	X	Z
1	210	-96.8
2	220	-92.0
3	320	-79.0
4	440	-67.2
5	640	-64.0
6	740	-58.0
7	914	-26.9
8	904	-29.4
9	876	-40.0
10	836	-47.0
11	772	-64.5
12	720	-63.3
13	648	-67.1
14	464	-67.2
15	376	-74.5
16	225	-92.1

**Kropp 2**

Ymin = -300 , Ymax = 300

Hjørne	X	Z
1	904	-29.4
2	914	-26.9
3	1520	-21.0
4	1584	-14.7
5	1570	-24.6
6	1460	-24.6
7	1350	-25.1
8	1305	-23.4
9	1276	-25.7
10	1158	-27.5
11	1106	-26.7
12	1272	-28.0
13	1000	-26.3

**Kropp 3**

Ymin = -500 , Ymax = 500

Hjørne	X	Z
1	1584	-14.7
2	1860	-12.0
3	2008	-9.0
4	1984	-14.4
5	1818	-14.0
6	1708	-15.1
7	1692	-14.3

**Kropp 4**

Ymin = -500 , Ymax = 500

Hjørne	X	Z
1	2222	-15.2
2	2196	-10.0
3	2284	-15.6
4	2288	-19.0
5	2281	-15.9

**Profil 5 - Modelldata (forts.)****Kropp 5**

Ymin = -3000 , Ymax = 3000

Hjørne	X	Z
1	220	-92.0
2	292	-81.0
3	450	-35.0
4	600	-22.0
5	660	-8.0
6	1600	-8.0
7	1584	-14.7
8	1520	-21.0
9	914	-26.9
10	740	-58.0
11	640	-64.0
12	440	-67.2
13	320	-79.0

**Kropp 6**

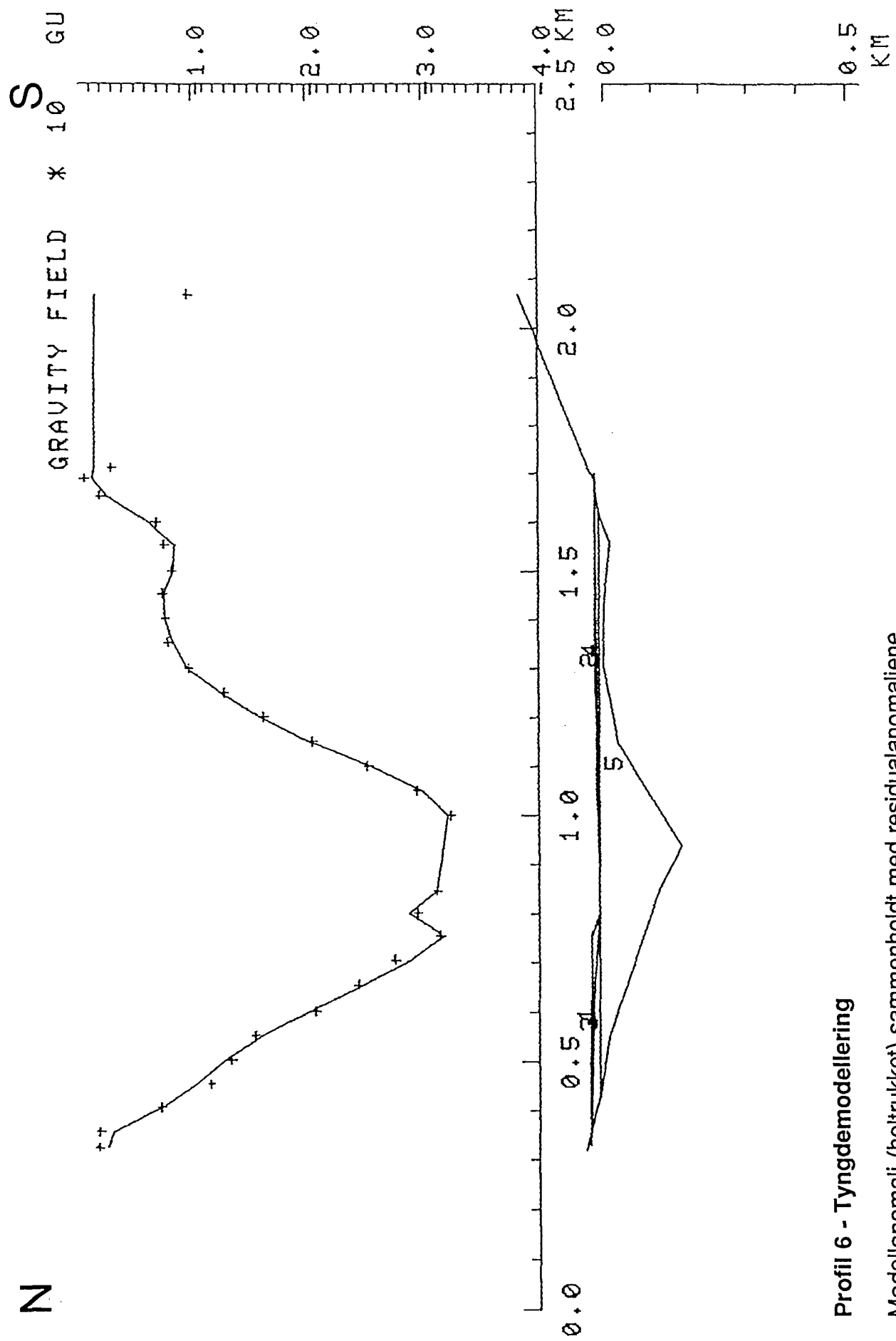
Ymin = -3000 , Ymax = 3000

Hjørne	X	Z
1	1584	-14.7
2	1600	-8.0
3	2252	-8.0
4	2284	-15.6
5	2196	-10.0
6	2106	-9.0
7	2008	-9.0
8	1860	-12.0

**Kropp 7**

Ymin = -4000 , Ymax = 4000

Hjørne	X	Z
1	660	-8.0
2	805	39.0
3	980	9.0
4	1100	42.0
5	1430	50.0
6	1550	75.0
7	1760	70.0
8	1860	50.0
9	2000	33.0
10	2130	5.0
11	2252	-8.0



### Profil 6 - Tyngdemodellering

Modellanomali (heitrukket) sammenholdt med residualanomaliene.  
 Residualanomali = Bougueranomali - Regionalanomali (fra databilag 2).  
 10 gu (gravity units) = 1 mGal (milliGal)

**Profil 6 - Modelldata****Densitetsverdier:**

Løsmasser kropp 1 - 2 : 1700 kg/m<sup>3</sup>  
 Løsmasser kropp 3 - 5 : 2000 kg/m<sup>3</sup>  
 Berggrunn (omgivelser) : 2750 kg/m<sup>3</sup>

**Geometriske data for kroppene:**

Lengdeavgrensing: Ymin og Ymax. Angitt i meter fra tolkningsprofil.

Hjørnekoordinater (X,Z) i polygonformet tverrsnitt:

X = Horisontalakse i tolkningsprofil. Angitt i meter.

Z = Vertikalakse i tolkningsprofil, positiv retning nedover.  
 Angitt i m u.h. (meter under havnivå).

**Kropp 1**

Ymin = -1000 , Ymax = 1000

Hjørne	X	Z
1	328	-35.1
2	660	-25.0
3	790	-14.3
4	760	-31.4
5	648	-31.4
6	480	-33.0
7	422	-34.4

**Kropp 2**

Ymin = -1000 , Ymax = 1000

Hjørne	X	Z
1	992	-17.6
2	984	-14.0
3	1120	-18.0
4	1240	-20.0
5	1668	-22.0
6	1700	-24.6
7	1660	-23.1
8	1512	-23.1
9	1436	-22.4
10	1358	-23.2
11	1160	-20.5
12	1108	-21.1
13	1040	-21.0

**Kropp 3**

Ymin = -2000 , Ymax = 2000

Hjørne	X	Z
1	328	-35.1
2	360	-33.5
3	400	-22.0
4	430	-14.0
5	984	-14.0
6	790	-14.3
7	660	-25.0

**Kropp 4**

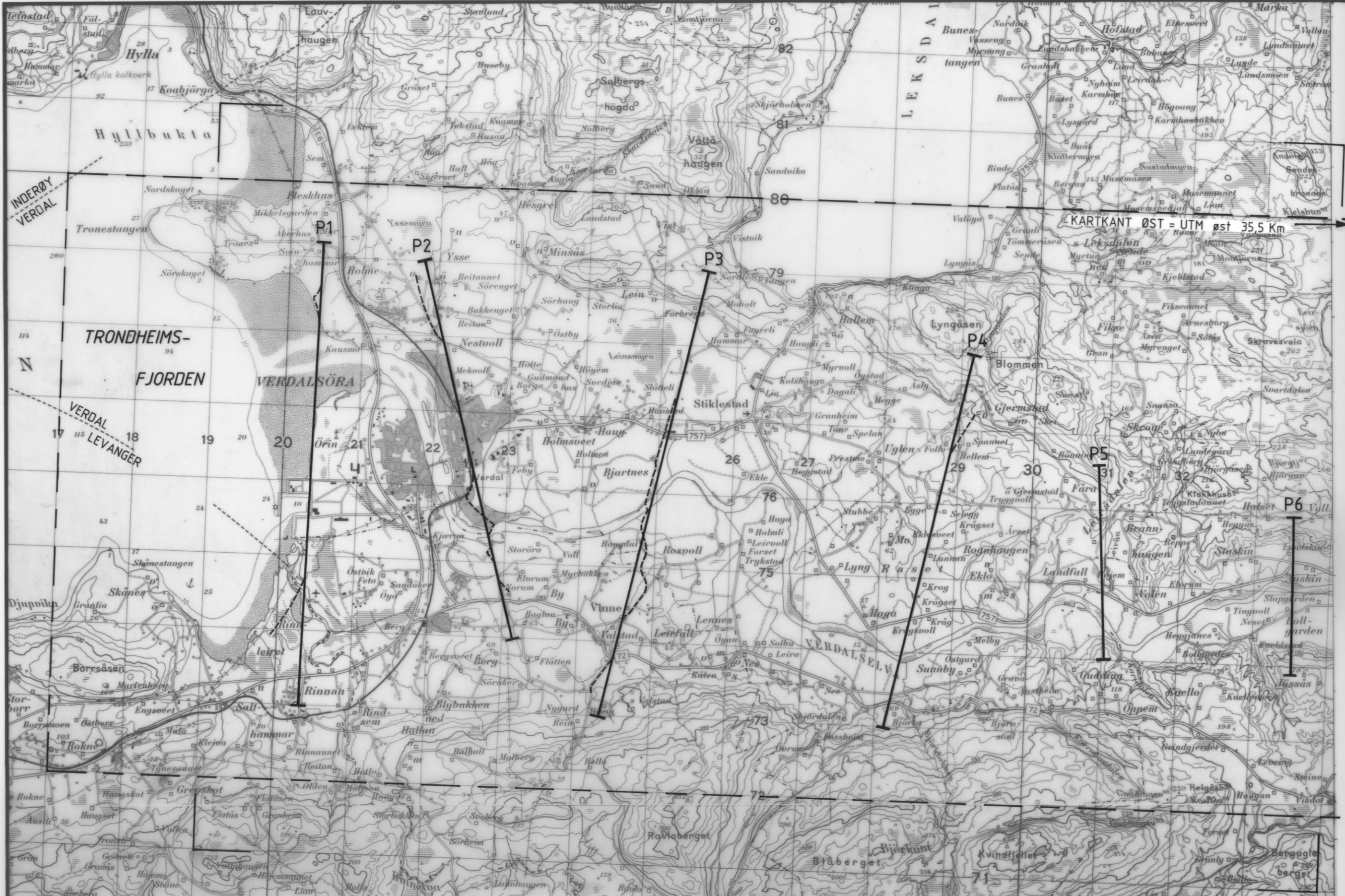
Ymin = -2000 , Ymax = 2000

Hjørne	X	Z
1	1120	-18.0
2	984	-14.0
3	1620	-14.0
4	1668	-22.0
5	1240	-20.0

**Kropp 5**

Ymin = -4000 , Ymax = 4000

Hjørne	X	Z
1	430	-14.0
2	550	4.0
3	850	110.0
4	940	155.0
5	1150	25.0
6	1310	-6.0
7	1450	-5.0
8	1560	6.0
9	1620	-14.0



TEGNFORKLARING

HJØRNEAVGRENSING FARGE/KOTE-KART  
BOUGUERANOMALIER (KARTBILAG 92.295 - 02)

AVGRENSING TOLKNINGSKART - FJELLOVERFLATE  
( KARTBILAG 92.295 - 04 )

UTPLUKKS-/TOLKNINGSPROFIL

MÅLEPROFIL ( AVVIK FRA UTPLUKKS-PROFIL )

NGU  
GRAVIMETRI  
OVERSIKTSKART

VERDAL

VERDAL OG LEVANGER KOMMUNER, NORD-TRØNDALAG

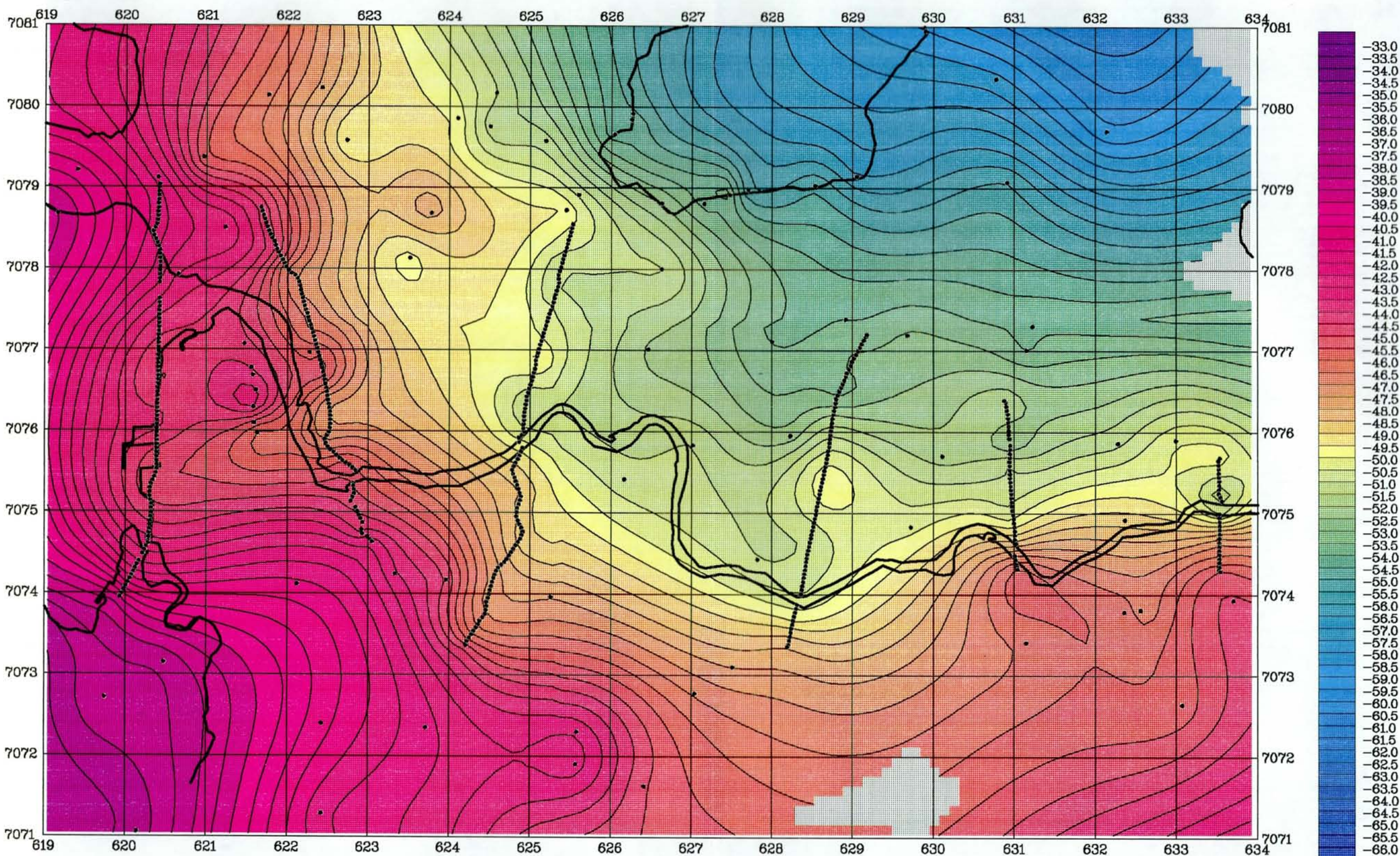
NORGES GELOGISKE UNDERSØKELSE  
TRONDHEIM

MÅLESTOKK	MÅLT JFT	1986/87
TEGN JFT	OKT 1992	
TRAC RB	NOV 1992	
KFR		

TEGNING NR.	KARTBLAD NR.
92.295 - 01	1722 IV

# GRAVIMETRI, VERDAL

Konturintervall 0.5 mGal

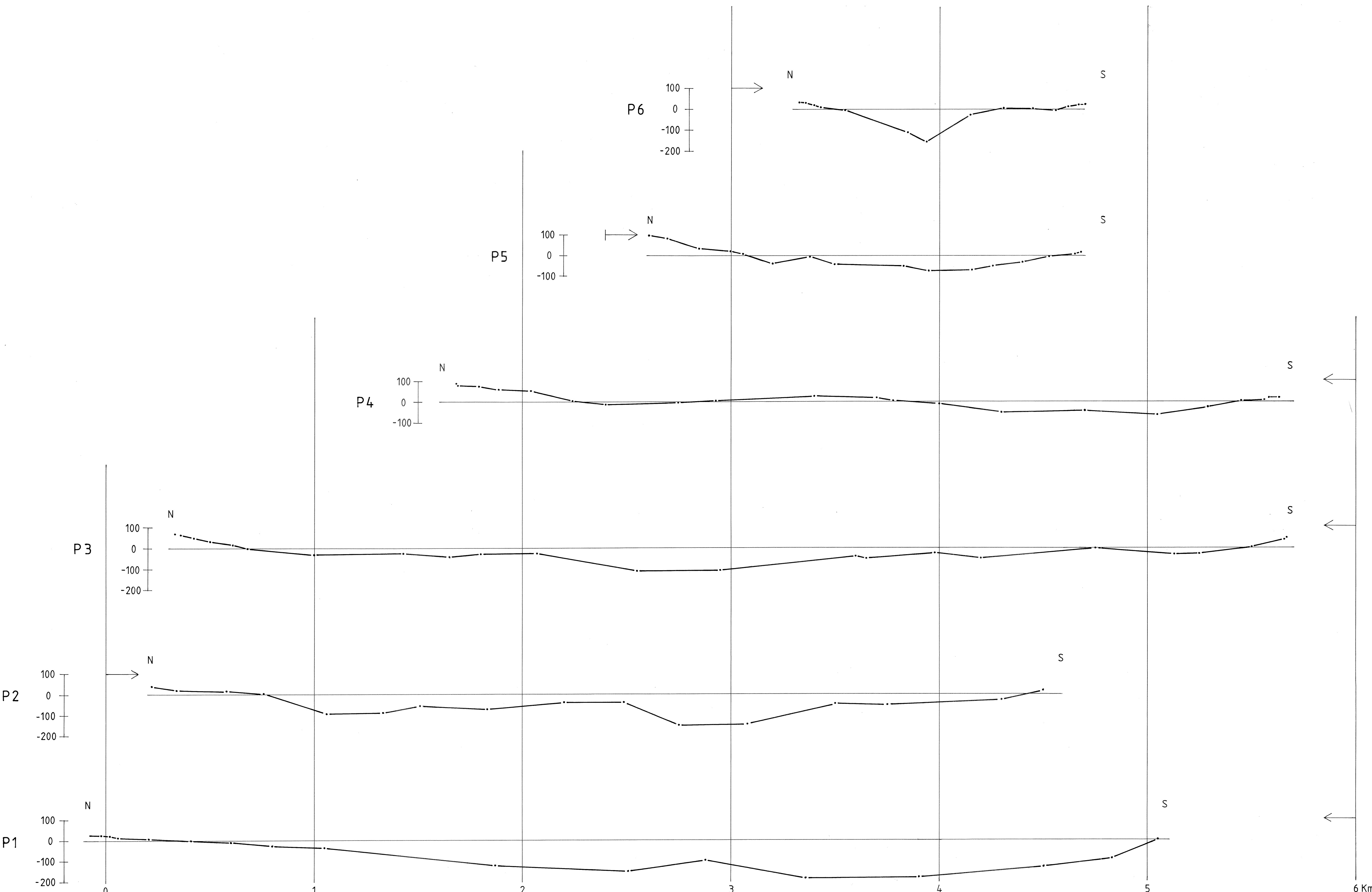


NGU  
GRAVIMETRI, BOUGUERANOMALIER  
**VERDAL**  
VERDAL, LEVANGER, NORD-TRØNDELAG

NORGES GEOLOGISKE UNDERSØKELSE  
TRONDHEIM

MALESTOKK	MALT	JFT	1986–87
	TEGN.	JFT	des. –92
	TRAC.		
	KFR.	JFT	

TEGNING NR.	KARTBLAD NR.
92.295-02	1722-IV



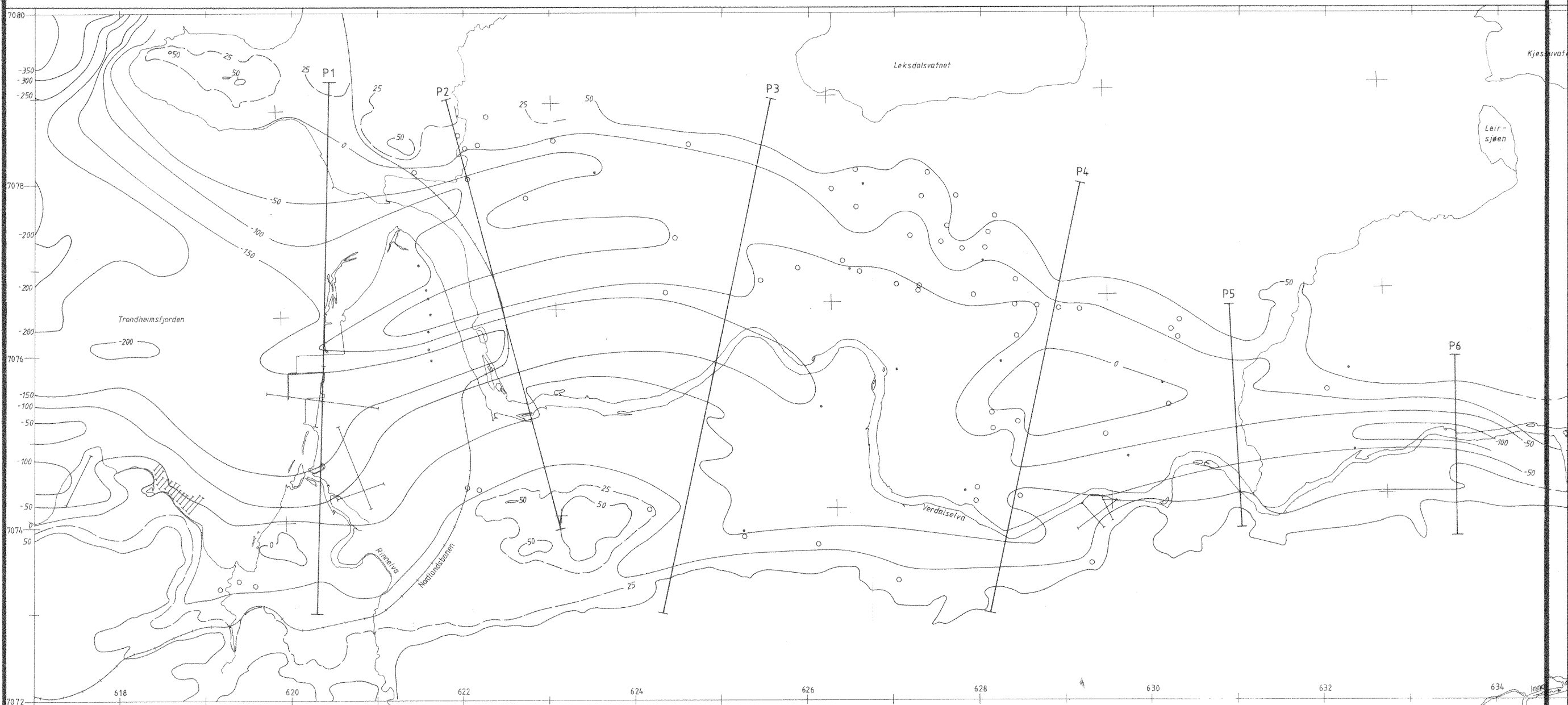
TEGNFORKLARING

- • — TYNGDEMODELLERING - FJELLOVERFLATE
- HØYDE: METER OVER HAVNIVÅ
- FELLES LENGEAKSE: 0-PUNKT I NORD = UTM-N7079 Km
- STARTPUNKT OG POSITIV RETNING FOR TOLKNINGSPROSIL

NGU  
GRAVIMETRI  
TYNGDEMODELLERING - FJELLOVERFLATE  
1:10000  
VERDAL  
LEVANGER OG VERDAL, NORD-TRØNDALAG

OBS. JFT	1986 / 87
TEGN. JFT	AUG.-92
TRAC. GG	
KFR.	
TEGNING NR.	KARTBLAD NR.
92.295 - 03	1722 IV





## TEGNFORKLARING

- Utplukks- / tolkningsprofil
  - Fjellkontur (m o.h.), konturavstand = 50 m
  - - - Mellomkontur (25 m)
  - Målepunkt på løsmasse mellom profilene
  - Refraksjonsseismisk profil
  - Boring
  - + Karthjørne i økon. kartverk (M 1:5000)
  - UTM-rutenett i kartrammen

NGU  
GRAVIMETRI  
TOLKNINGSKART - FJELLOVERFLATE  
VERDAL  
LEVANGER OG VERDAL, NORD-TRØNDAL

NGU GRAVIMETRI TOLKNINGSKART - FJELLOVERFLATE VERDAL LEVANGER OG VERDAL, NORD-TRØNDELAG	MÅLESTOKK 1:50 000	MÅLT	JFT	1986/87	
		TEGN	JFT	SEPT. -92	
		TRAC			
		KFR			
NORGES GEOLOGISKE UNDERSØKELSE TRONDHEIM		TEGNING NR.		KARTBLAD NR.	
		92.295-05		1722 IV	